

Ηλεκτρικά Κυκλώματα II

Διάλεξη 05

Α. Δροσόπουλος

06-04-2023

1 Τριφασικά Κυκλώματα

- Στα προηγούμενα ασχοληθήκαμε με την ανάλυση κυκλωμάτων με ημιτονοειδείς κυματομορφές στη μόνιμη ημιτονοειδή κατάσταση τα οποία ήταν μονοφασικά.
- Ένα μονοφασικό σύστημα ηλεκτρικής ενέργειας αποτελείται από μια γεννήτρια (πηγή) που συνδέεται μέσω ενός ζεύγους αγωγών με το φορτίο.
- Θα επεκτείνουμε τις τεχνικές ανάλυσης που αναπτύχθηκαν για μονοφασικά κυκλώματα στα τριφασικά, δηλαδή κυκλώματα που περιλαμβάνουν τρεις πηγές τάσεων οι οποίες απέχουν χρονικά μεταξύ τους κατά ένα τρίτο του κύκλου.
- Στην πράξη τα συστήματα παραγωγής και μεταφοράς ηλεκτρικής ενέργειας είναι τριφασικά.

Εδώ μελετούμε τριφασικά κυκλώματα εναλλασσομένου ρεύματος, δηλ. κυκλώματα που περιέχουν τρεις πηγές τάσης με διαφορά φάσης 120° μεταξύ τους.

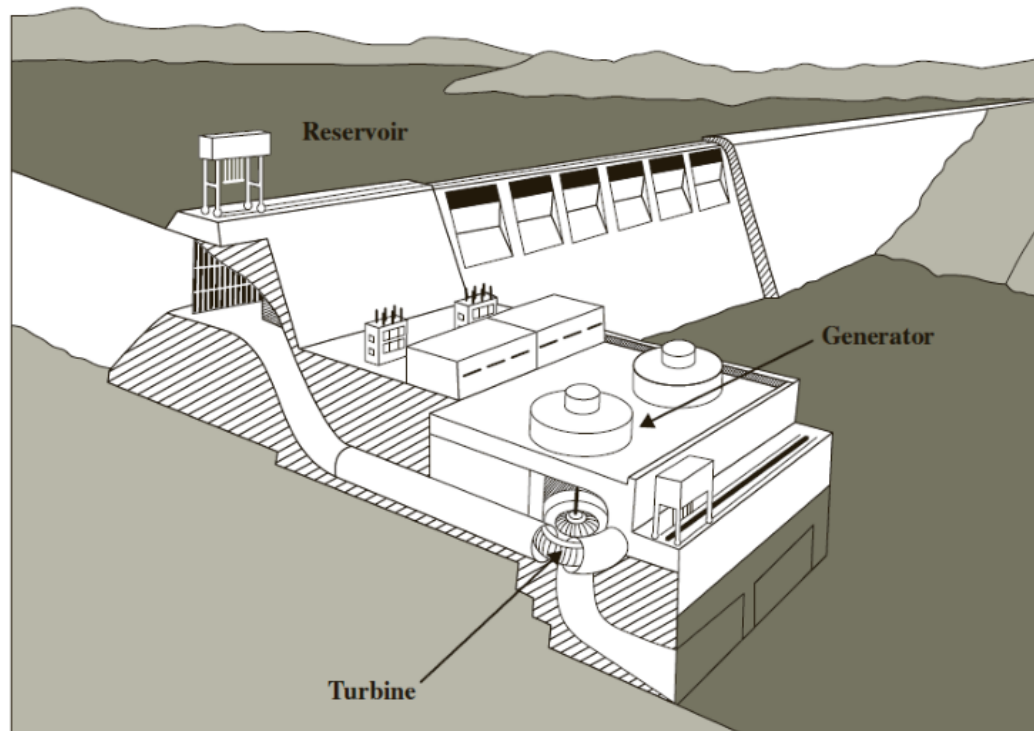
Χρησιμοποιούνται ευρέως στα δίκτυα μεταφοράς, διανομής και κατανάλωσης ηλεκτρικής ενέργειας λόγω των πλεονεκτημάτων που παρουσιάζουν:

- Οι απώλειες στις γραμμές μεταφοράς είναι μικρότερη για τριφασικά ρεύματα με αποτέλεσμα η απαιτούμενη διατομή των αγωγών να είναι μικρότερη από ότι σε αντίστοιχα μονοφασικά (εξοικονόμηση υλικού).
- Στα τριφασικά η στιγμιαία ισχύς είναι σταθερή και ίση με τη μέση ισχύ εν αντιθέσει με τα μονοφασικά όπου η στιγμιαία ισχύς μεταβάλλεται συνεχώς (αποτελείται από μια σταθερά συνιστώσα και μια ημιτονοειδή διπλάσιας συχνότητας από τη συχνότητα του εναλλασσομένου). Στους ηλεκτρικούς κινητήρες (μηχανές/ γεννήτριες) η τριφασική τροφοδοσία έχει σαν αποτέλεσμα σταθερή ροπή στα περιστρεφόμενα μέρη του κινητήρα με λιγότερες καταπονήσεις και κραδασμούς που σημαίνει απλούστερη και οικονομικότερη κατασκευή τέτοιων συστημάτων.
- Ο βαθμός απόδοσης στους τριφασικούς κινητήρες είναι ψηλότερος από ότι στους αντίστοιχους μονοφασικούς με καλύτερα χαρακτηριστικά λειτουργίας.

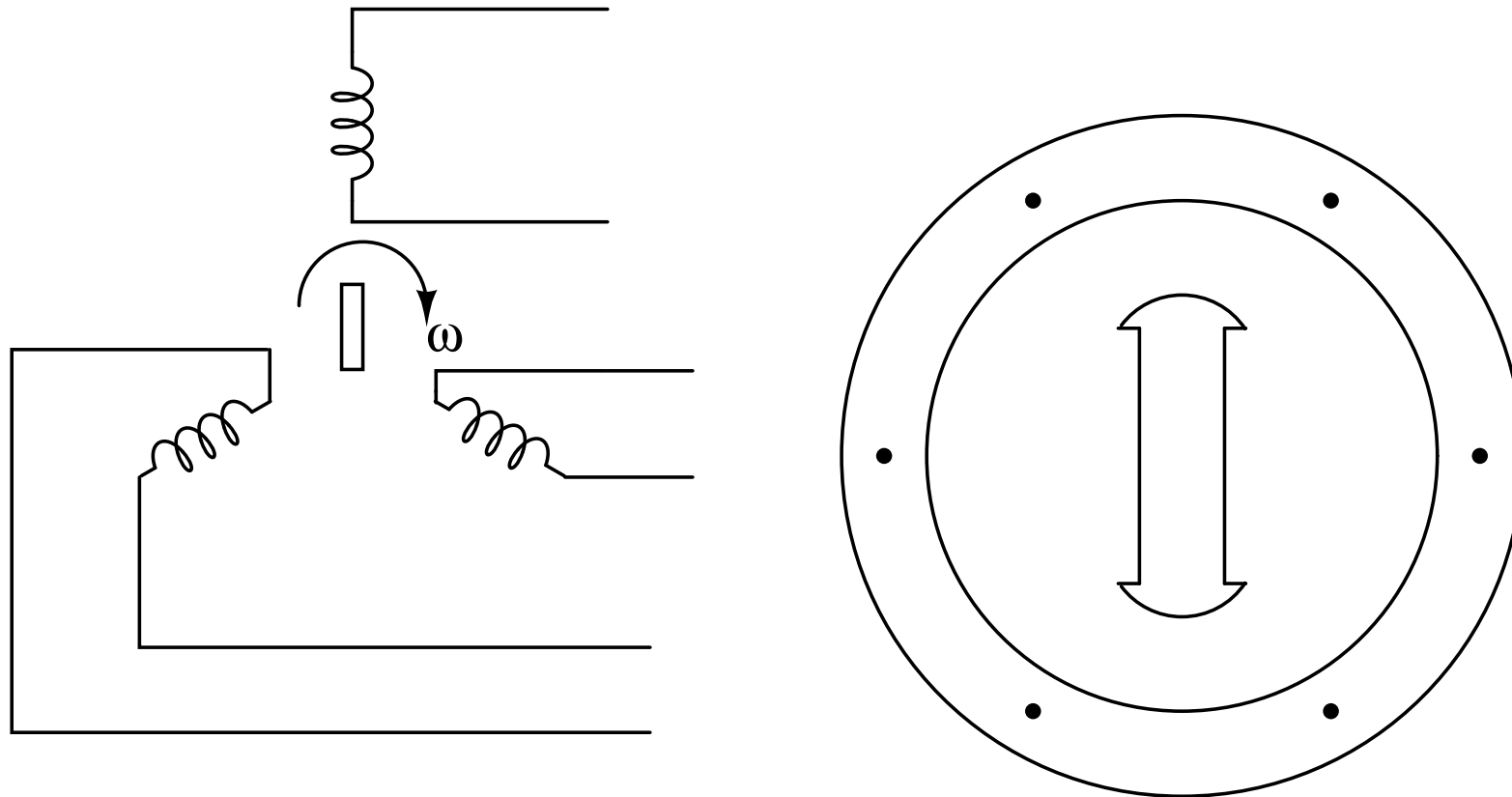
Προϋπόθεση ότι έχουμε συμμετρικά ή ισορροπημένα (balanced) τριφασικά συστήματα, γεγονός που επιβάλλει περιορισμούς στα φορτία αυτών των συστημάτων.

Εισαγωγή

- Η παραγωγή ηλεκτρικής ενέργειας επιτυγχάνεται με μια ηλεκτρική γεννήτρια που μετατρέπει μηχανική ενέργεια σε ηλεκτρική. Η μηχανική ενέργεια μπορεί να παράγεται για παράδειγμα σε ένα υδροηλεκτρικό εργοστάσιο.
- Το νερό που αποθηκεύεται στο φράγμα πέφτει από κάποιο ύψος μέσω υδροστροβίλων στο ποτάμι. Οι έλικες των υδροστροβίλων περιστρέφονται από το νερό και μαζί τους περιστρέφεται ο άξονας ηλεκτρογεννήτριας.



Εικόνα από “Basic Engineering Circuit Analysis”, J.D. Irwin, R.M. Nelms, 11th ed., Wiley, 2015.



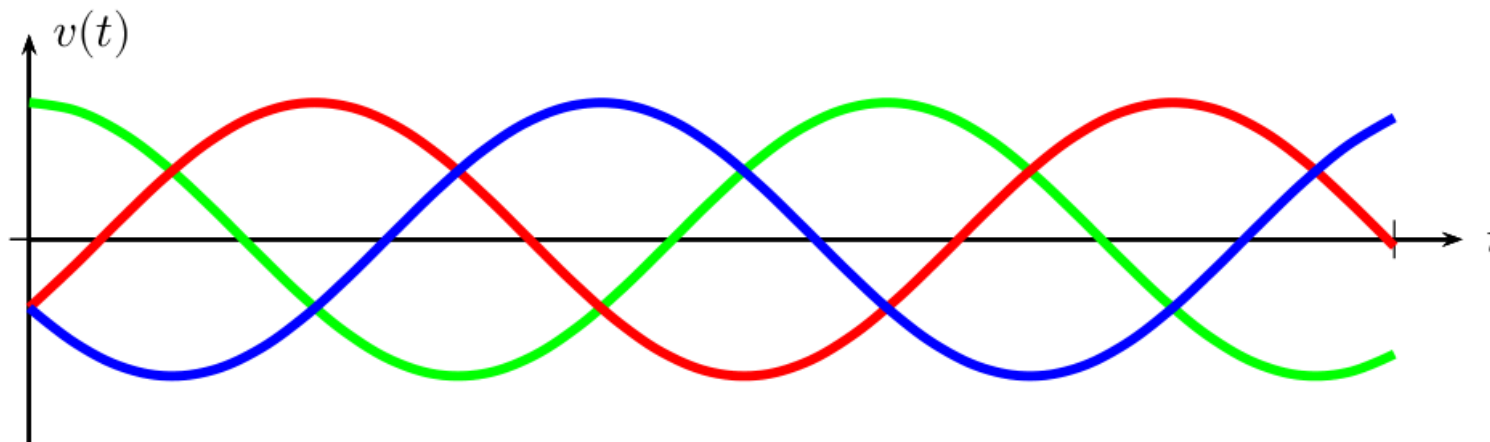
Σχήμα: Αρχή τριφασικής γεννήτριας

- Η μηχανική ενέργεια μετατρέπεται μέσω της γεννήτριας σε ηλεκτρική.
- Σε ατμοηλεκτρικά εργοστάσια γίνεται καύση ορυκτών καυσίμων, θερμαίνεται νερό και μετατρέπεται σε ατμό με τη βοήθεια του οποίου περιστρέφεται ο στρόβιλος. Νερό χρησιμοποιείται επίσης για την ψύξη και την μετατροπή του ατμού σε νερό ώστε να αρχίσει ο κύκλος από την αρχή.
- Σε πυρηνικά εργοστάσια πάλι ο ατμός κινεί στροβίλους, μόνο που εκεί το νερό βράζει λόγω της θερμότητας που παράγεται από τη σχάση του πυρήνα του αντιδραστήρα.
- Οι παραπάνω τύποι εργοστασίων παραγωγής ηλεκτρικής ενέργειας βρίσκονται συνήθως μακριά από τις πόλεις, δηλαδή μακριά από τα φορτία που καταναλώνουν την ηλεκτρική ενέργεια που παράγουν.
- Τριφασικές γραμμές μεταφοράς ηλεκτρικής ενέργειας χρησιμοποιούνται για τη μεταφορά από το εργοστάσιο στα φορτία.

- Η μεταφορά ηλεκτρικής ενέργειας είναι πιο αποδοτική σε υψηλές τάσεις. (Όσο υψηλότερη είναι η τάση υπό την οποία μεταφέρεται συγκεκριμένη ισχύς τόσο χαμηλότερο είναι το ρεύμα.) Τα επίπεδα τάσης που χρησιμοποιούνται κατά τη μεταφορά είναι πολύ διαφορετικά από αυτό που απαιτούν πχ τα οικιακά φορτία.
- Υπάρχει λοιπόν ανάγκη ανύψωσης και υποβιβασμού της τάσης. Αυτό επιτυγχάνεται μέσω τριφασικών μετασχηματιστών σε υποσταθμούς ηλεκτρικής ενέργειας.
- Το μεγαλύτερο μέρος της ηλεκτρικής ενέργειας παράγεται και μεταφέρεται μέσω τριφασικού συστήματος. Όταν χρειάζεται μονοφασική τάση τότε λαμβάνεται και αυτή από το τριφασικό σύστημα.



- Στα τριφασικά κυκλώματα που θα εξετάσουμε η διέγερση θα είναι ένα τριφασικό σύστημα ημιτονοειδών τάσεων.
- Αν οι τρεις φάσεις έχουν ίδιο πλάτος και συχνότητα και κάθε τάση έχει διαφορά φάσης 120° από τις άλλες δύο, τότε οι τάσεις χαρακτηρίζονται ως συμμετρικές.
- Αν τα φορτία είναι τέτοια ώστε τα ρεύματα που παράγονται λόγω των τάσεων να είναι επίσης συμμετρικά, τότε όλο το σύστημα χαρακτηρίζεται ως συμμετρικό τριφασικό.
- Πλεονεκτήματα: Η στιγμιαία ισχύς σε ένα τριφασικό σύστημα μπορεί να είναι σταθερή (χωρίς κυμάτωση). Αυτό έχει ως αποτέλεσμα ομοιόμορφη μεταφορά ισχύος και περιορισμό των κραδασμών των μηχανών. Οι τριφασικές μηχανές είναι πιο αποδοτικές από τις μονοφασικές και δεν απαιτούν βοηθητικό κύκλωμα για έναυση. Επίσης για τη μεταφορά ίδιας ποσότητας ισχύος το τριφασικό σύστημα είναι πιο οικονομικό. (Οι αγωγοί που απαιτούνται είναι λιγότεροι.)

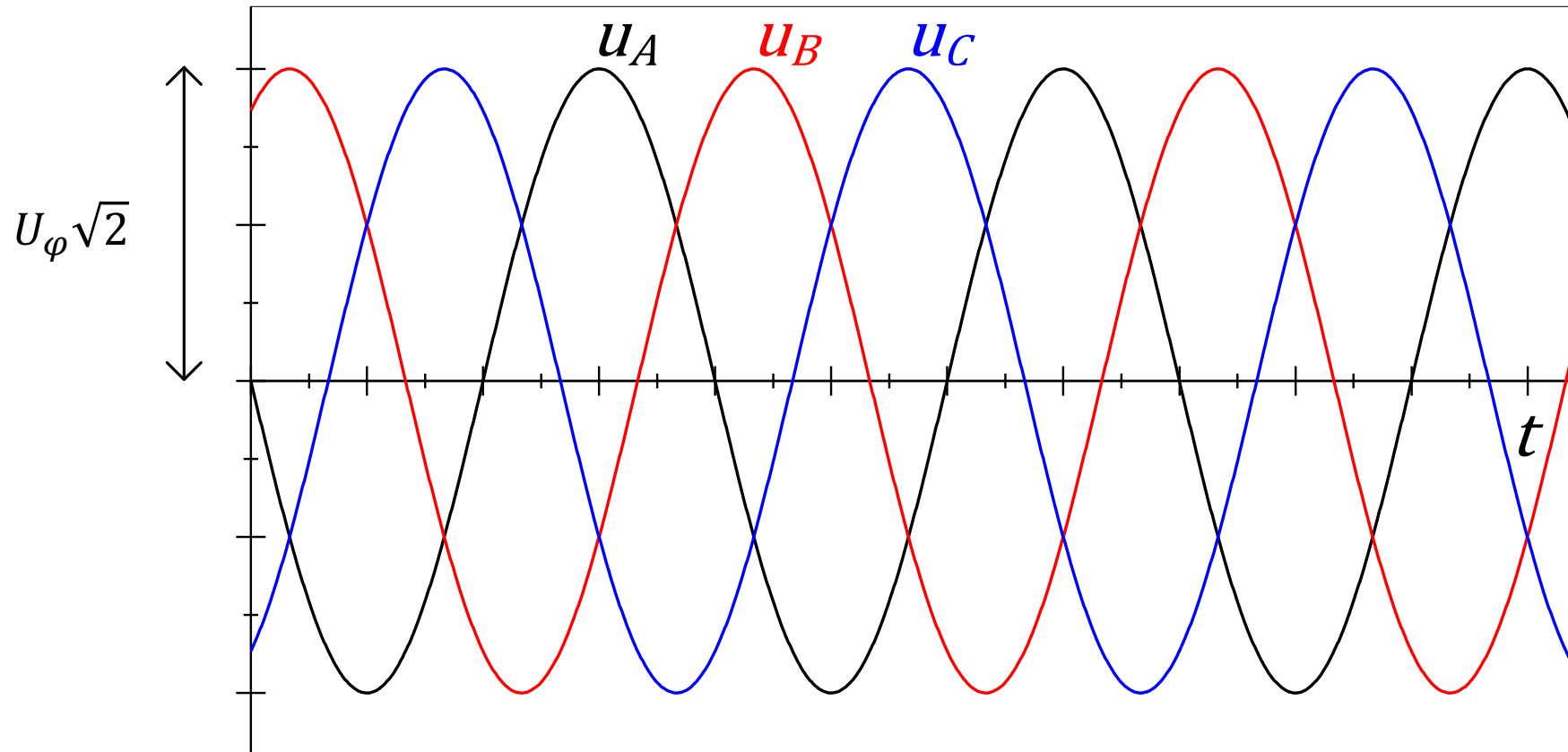


Σχήμα: Τρεις τάσεις με ίδιο μέτρο και διαφορά φάσης 120° μεταξύ τους

Ακολουθία φάσεων

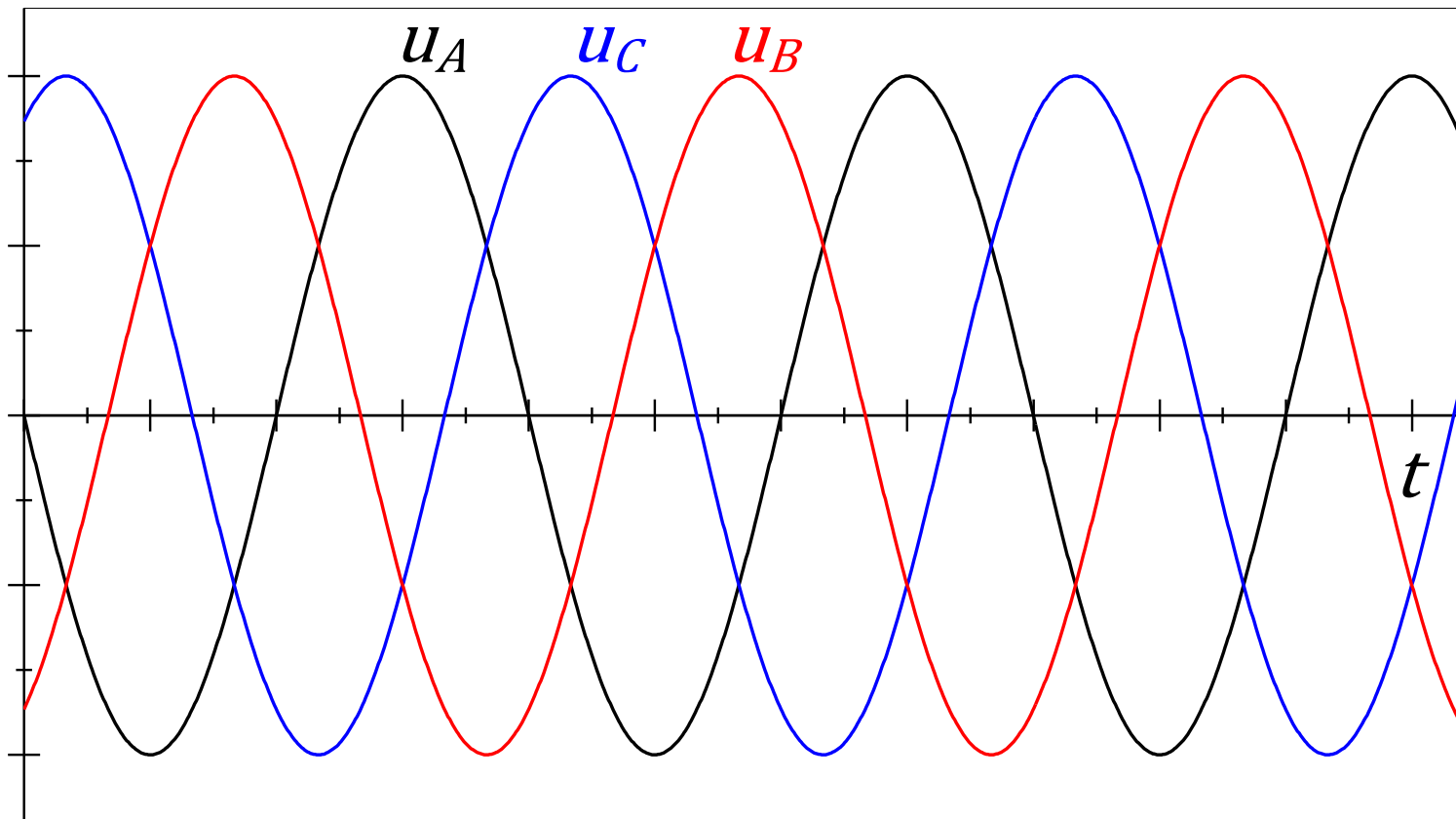
- Ας θεωρήσουμε τρεις ημιτονοειδείς τάσεις με ίδιες rms τιμές U_φ και διαφορά φάσης 120° μεταξύ τους.

ABC → RST



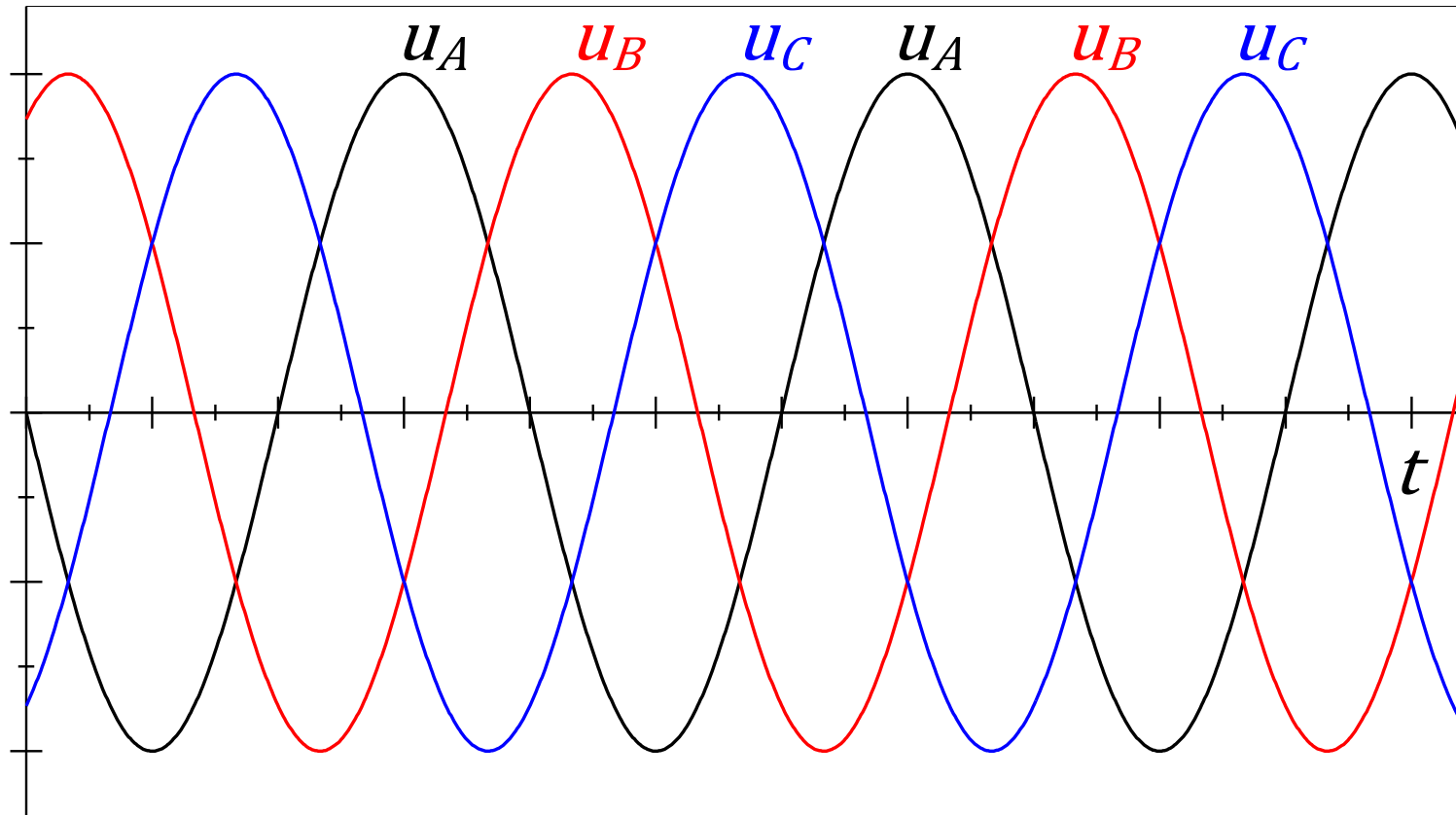
Ακολουθία φάσεων

- Η χρονική σειρά με την οποία περνούν οι τάσεις από τις αντίστοιχες μέγιστες τιμές τους ονομάζεται ακολουθία φάσεων.
- Στην προηγούμενη διαφάνεια η ακολουθία ήταν ABC. Θα μπορούσε όμως να είναι και ACB όπως φαίνεται παρακάτω. Στην περίπτωση αυτή η ακολουθία ονομάζεται και ABC αρνητική.
↙ θετική, ορθή
← αρνητική, ανάστροφη



Ακολουθία φάσεων

- Σημαντική παρατήρηση: Η ακολουθία ABC είναι ίδια με BCA, CAB. Πράγματι η χρονική σειρά των τάσεων είναι ABCABCABC...



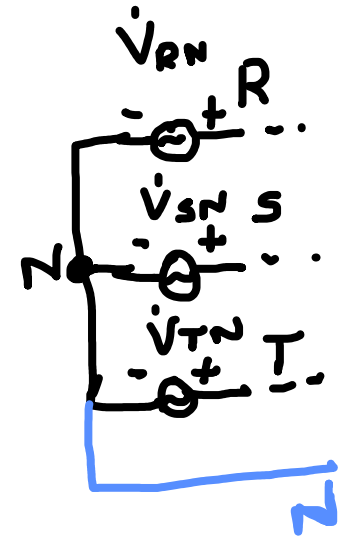
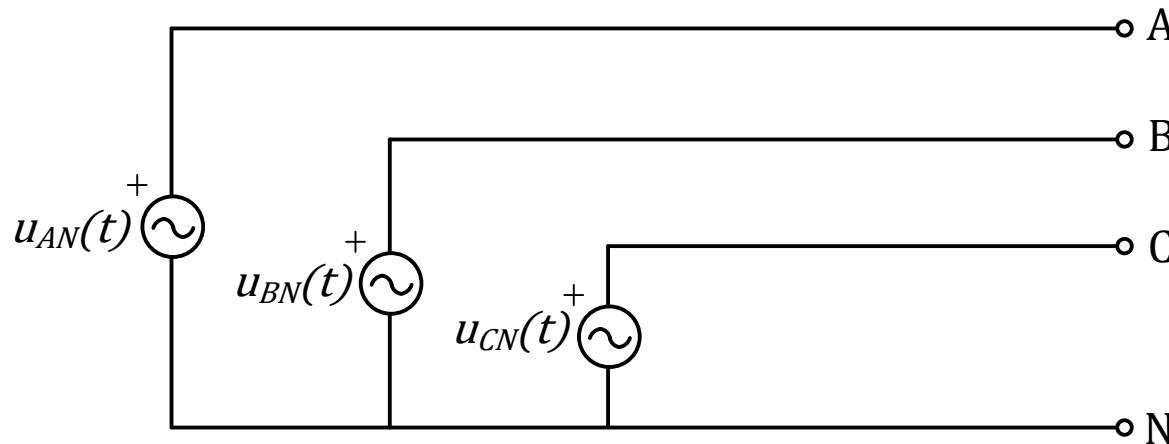
- Ομοίως με ACB, CBA και BAC περιγράφεται η ίδια χρονική σειρά και πρόκειται για την αρνητική ακολουθία φάσεων.

Ακολουθία φάσεων

- Σε τριφασικά συστήματα η ακολουθία φάσεων είναι πολύ σημαντική.
- Καθορίζει για παράδειγμα τη φορά περιστροφής ενός κινητήρα που τροφοδοτείται από το συγκεκριμένο σύστημα τάσεων. Επίσης πρέπει να λαμβάνεται υπόψη κατά τη μέτρηση αέργου ισχύος με τριφασικούς μετρητές. Εσφαλμένη σύνδεση των μετρητών αυτών οδηγεί σε εσφαλμένα αποτελέσματα.

Τριφασική πηγή τάσεων

- Μια τριφασική πηγή τάσης που θα μπορούσε να παράγει το σύστημα των ημιτονοειδών τάσεων που εξετάζουμε φαίνεται στο σχήμα.



- Οι τάσεις $u_{AN}(t)$, $u_{BN}(t)$, $u_{CN}(t)$ προκύπτουν μεταξύ των γραμμών A, B, C και του N αντίστοιχα. Ονομάζονται φασικές τάσεις. Το σημείο N ονομάζεται ουδέτερος κόμβος.
- Εφόσον οι τάσεις έχουν ίδιο πλάτος και συχνότητα ω και παρουσιάζουν διαφορά φάσης 120° μεταξύ τους λέμε ότι αποτελούν ένα συμμετρικό τριφασικό σύστημα τάσεων.

Φασικές τάσεις

- Έστω ότι οι συναρτήσεις των τριών τάσεων είναι

$$u_{AN}(t) = U_{\varphi} \sqrt{2} \cos(\omega t + 90^{\circ})$$

$$u_{BN}(t) = U_{\varphi} \sqrt{2} \cos(\omega t - 30^{\circ})$$

$$u_{CN}(t) = U_{\varphi} \sqrt{2} \cos(\omega t - 150^{\circ}) = U_{\varphi} \sqrt{2} \cos(\omega t + 210^{\circ})$$

- Με το σύμβολο u_{AN} συμβολίζουμε την τάση μεταξύ δύο σημείων A και N. Εναλλακτικά θα χρησιμοποιήσουμε σύμβολα χωρίς το N στο δείκτη για λόγους απλοποίησης. Δηλαδή οι παραπάνω τάσεις θα συμβολίζονται και ως $u_A(t)$, $u_B(t)$, $u_C(t)$.
- Οι φάσορες των τάσεων θα είναι

$$\dot{U}_A = U_{\varphi} \angle 90^{\circ}$$

$$\dot{U}_B = U_{\varphi} \angle (-30^{\circ})$$

$$\dot{U}_C = U_{\varphi} \angle 210^{\circ}$$

Φασικές τάσεις

- Βασική ιδιότητα ενός συμμετρικού συστήματος τάσεων:

$$\dot{U}_A + \dot{U}_B + \dot{U}_C = 0$$

- Πράγματι $e^{j\theta} = \cos\theta + j\sin\theta$ τύπος Euler

$$\dot{U}_A + \dot{U}_B + \dot{U}_C = U_\varphi \angle 90^\circ + U_\varphi \angle (-30^\circ) + U_\varphi \angle 210^\circ$$

$$= U_\varphi [\cos 90^\circ + j \sin 90^\circ + \cos(-30^\circ) + j \sin(-30^\circ) + \cos 210^\circ$$

$$+ j \sin 210^\circ] = U_\varphi \left[j + \frac{\sqrt{3}}{2} - j \frac{1}{2} - \frac{\sqrt{3}}{2} - j \frac{1}{2} \right] = 0$$

- Το ίδιο αποδεικνύεται αν αθροίσουμε τις συναρτήσεις στο πεδίο του χρόνου. Γενικά 3 ημιτονοειδείς συναρτήσεις με ίδια πλάτη και διαφορά φάσης 120° μεταξύ τους έχουν άθροισμα 0:

$$\cos \alpha + \cos(\alpha - 120^\circ) + \cos(\alpha + 120^\circ)$$

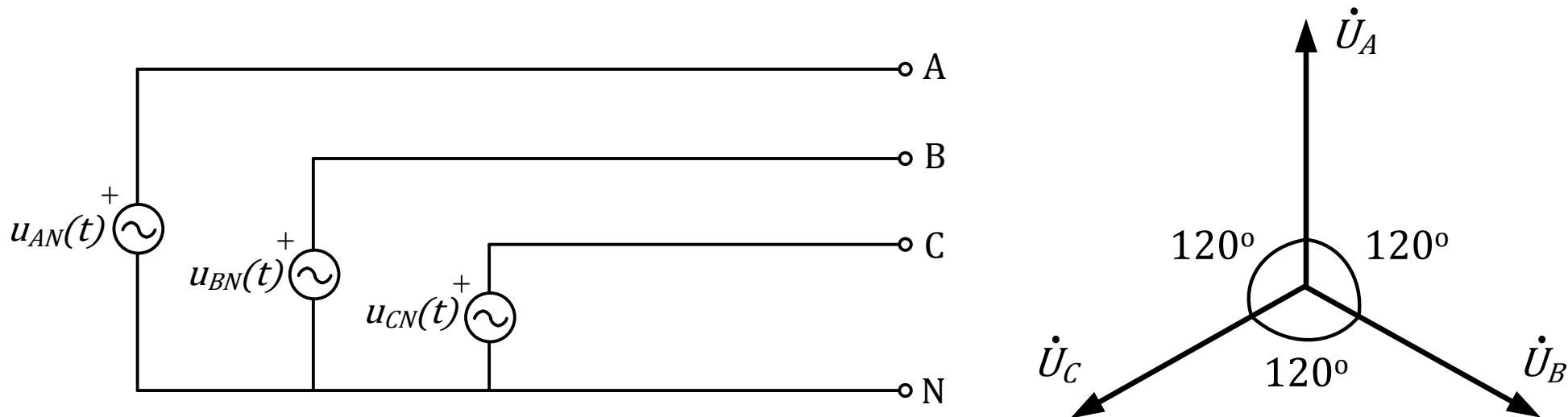
$$= \cos \alpha + \cos \alpha \cos 120^\circ + \sin \alpha \sin 120^\circ + \cos \alpha \cos 120^\circ$$

$$- \sin \alpha \sin 120^\circ = \cos \alpha + 2 \cos \alpha \cos 120^\circ = \cos \alpha + 2(-0.5) \cos \alpha$$

$$= 0$$

Φασικές τάσεις

- Για ακολουθία ABC οι φάσορες των τάσεων θα είναι:



- Θα θεωρούμε χωρίς απώλεια της γενικότητας ότι η \dot{U}_A έχει γωνία 90° , εκτός και αν δίνεται διαφορετική γωνία.
- Οι παραπάνω τάσεις λαμβάνονται μεταξύ των ακροδεκτών A – N, B – N, C – N της πηγής και ονομάζονται φασικές τάσεις.
- Θα μπορούσαμε όμως να πάρουμε και τις τάσεις μεταξύ δύο φάσεων, δηλαδή μεταξύ των ακροδεκτών A – B, B – C, C – A.

Πολικές τάσεις

- Οι τάσεις μεταξύ δύο φάσεων ονομάζονται πολικές και μπορούν να βρεθούν με εφαρμογή KVL ως εξής:

$$\begin{aligned}\dot{U}_{AB} &= \dot{U}_A - \dot{U}_B = U_\varphi \angle 90^\circ - U_\varphi \angle (-30^\circ) = jU_\varphi - U_\varphi \left(\frac{\sqrt{3}}{2} - j\frac{1}{2} \right) \\ &= U_\varphi \left(-\frac{\sqrt{3}}{2} + j\frac{3}{2} \right) = \sqrt{3}U_\varphi \left(-\frac{1}{2} + j\frac{\sqrt{3}}{2} \right) = \sqrt{3}U_\varphi \angle 120^\circ = \dot{U}_A \sqrt{3} \angle 30^\circ\end{aligned}$$

$$\begin{aligned}\dot{U}_{BC} &= \dot{U}_B - \dot{U}_C = U_\varphi \angle (-30^\circ) - U_\varphi \angle 210^\circ = U_\varphi \left(\frac{\sqrt{3}}{2} - j\frac{1}{2} \right) - U_\varphi \left(-\frac{\sqrt{3}}{2} - j\frac{1}{2} \right) \\ &= U_\varphi \left(2\frac{\sqrt{3}}{2} + j0 \right) = \sqrt{3}U_\varphi \angle 0^\circ = \dot{U}_B \sqrt{3} \angle 30^\circ\end{aligned}$$

$$\begin{aligned}\dot{U}_{CA} &= \dot{U}_C - \dot{U}_A = U_\varphi \angle 210^\circ - U_\varphi \angle 90^\circ = U_\varphi \left(-\frac{\sqrt{3}}{2} - j\frac{1}{2} \right) - jU_\varphi \\ &= U_\varphi \left(-\frac{\sqrt{3}}{2} - j\frac{3}{2} \right) = \sqrt{3}U_\varphi \left(-\frac{1}{2} - j\frac{\sqrt{3}}{2} \right) = \sqrt{3}U_\varphi \angle (-120^\circ) \\ &= \dot{U}_C \sqrt{3} \angle 30^\circ\end{aligned}$$

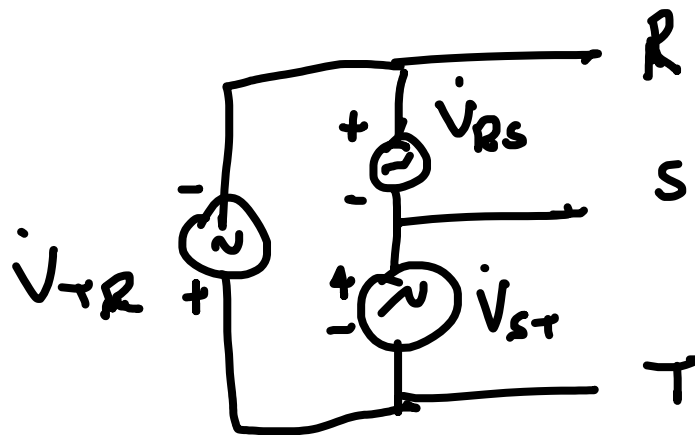
Πολικές τάσεις

- Στις παραπάνω εξισώσεις συμβολίζουμε την rms τιμή μιας φασικής τάσης με U_φ .
- Παρατηρούμε ότι

$$U_{AB} = U_{BC} = U_{CA} = \sqrt{3}U_\varphi$$

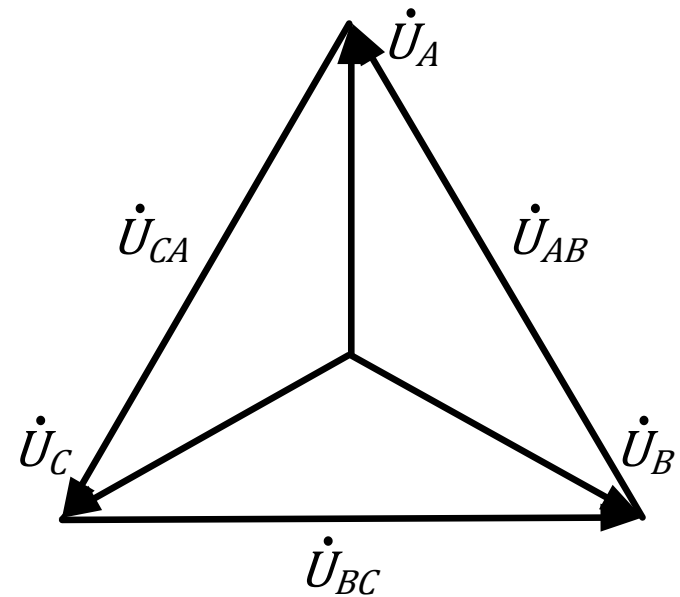
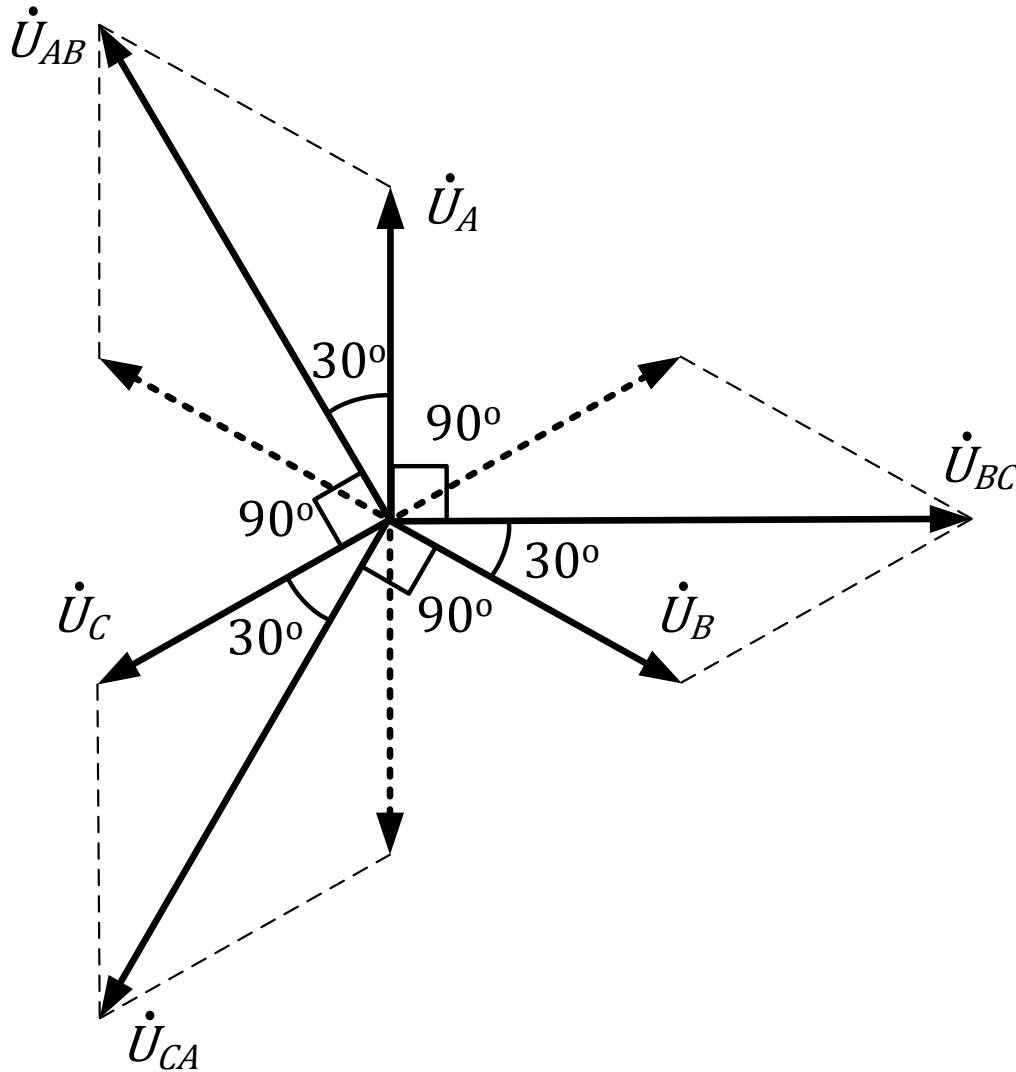
- Θα συμβολίζουμε επίσης επίσης την rms τιμή μιας πολικής τάσης με U . Επομένως

$$U = \sqrt{3}U_\varphi$$



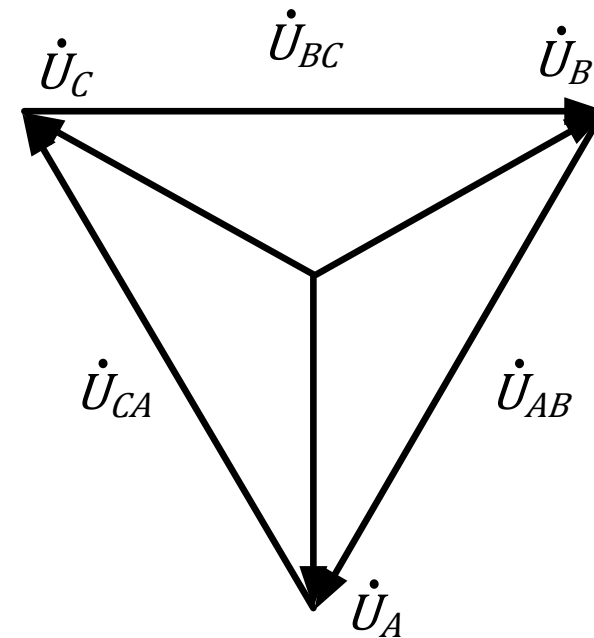
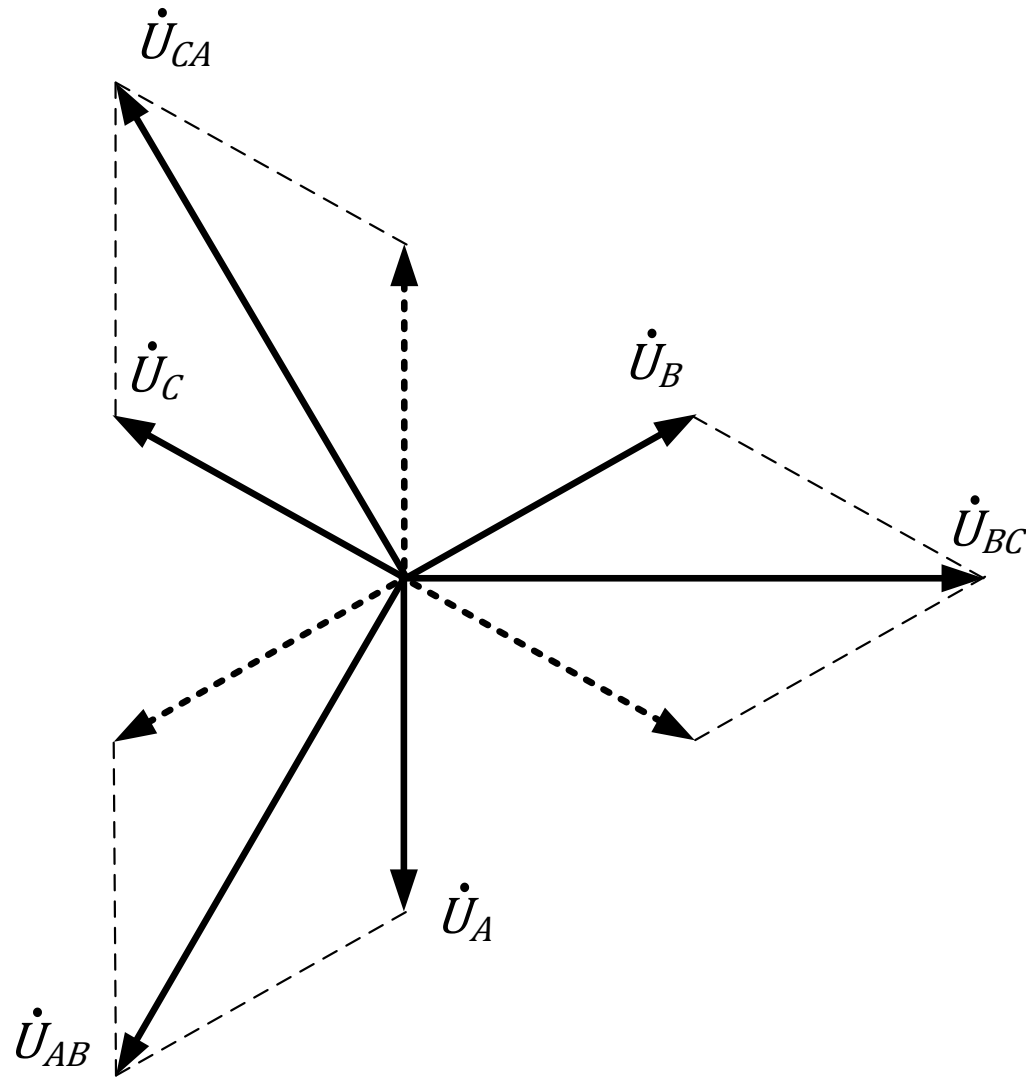
Διανυσματικό διάγραμμα

- Η διανυσματική πρόσθεση φασικών τάσεων και οι πολικές τάσεις που προκύπτουν φαίνονται παρακάτω.

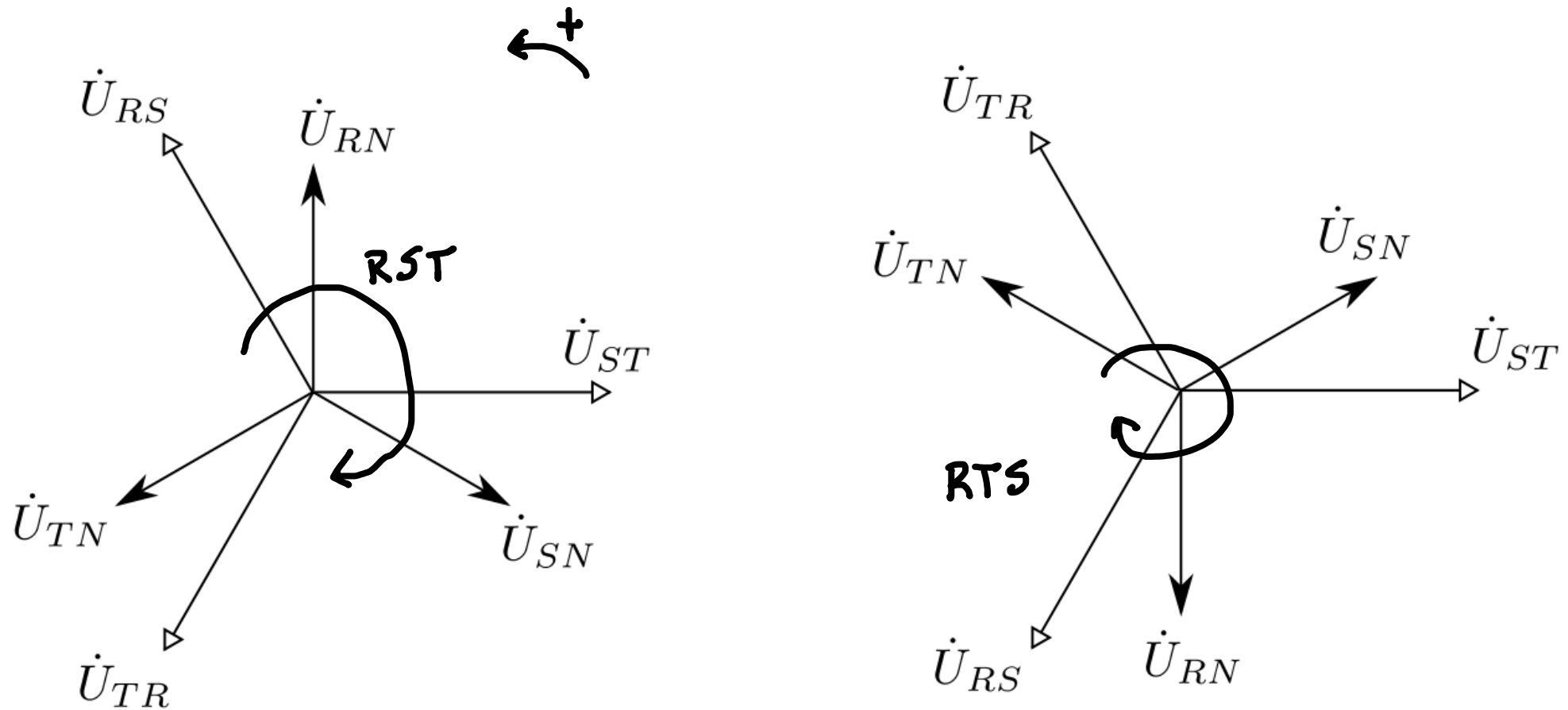


Διανυσματικό διάγραμμα

- Αν η ακολουθία είναι CBA τότε



Ακολουθία φάσεων



Σχήμα: Διάγραμμα φασικών και πολικών τάσεων σε ορθή (αριστερά) και ανάστροφη (δεξιά) διαδοχή φάσεων.

$$\dot{V}_{SN} = 150 \angle 37^\circ \text{ V}$$

opD:

$$\dot{V}_{RN} = \dot{V}_{SN} \angle 120^\circ = 150 \angle 37^\circ + 120^\circ = 150 \angle 157^\circ \text{ V}$$

$$\dot{V}_{SN} = 150 \angle 37^\circ \text{ V}$$

$$\dot{V}_{TN} = \dot{V}_{SN} \angle -120^\circ = 150 \angle 37^\circ - 120^\circ = 150 \angle -83^\circ \text{ V}$$

opD:

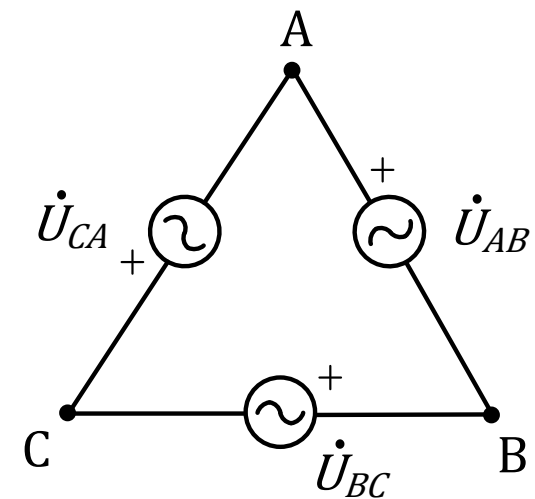
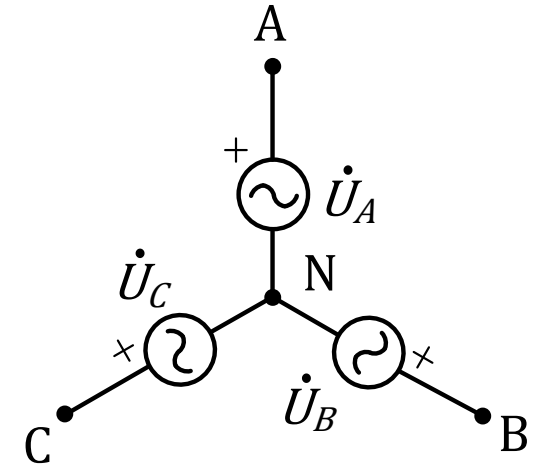
$$\dot{V}_{RN} = \dot{V}_{SN} \angle -120^\circ = 150 \angle 37^\circ - 120^\circ = 150 \angle -83^\circ \text{ V}$$

$$\dot{V}_{SN} = 150 \angle 37^\circ \text{ V}$$

$$\dot{V}_{TN} = \dot{V}_{SN} \angle 120^\circ = 150 \angle 37^\circ + 120^\circ = 150 \angle 157^\circ \text{ V}$$

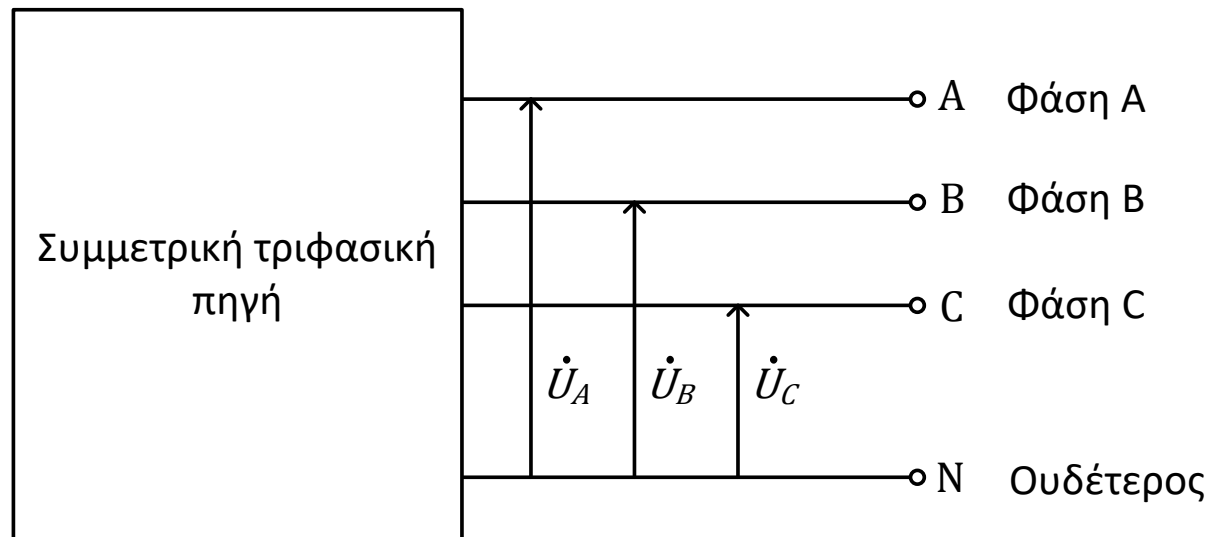
Συνδεσμολογίες πηγών

- Η τριφασική πηγή τάσης που εξετάσαμε θα μπορούσε να σχεδιαστεί και ως εξής:
- Η συνδεσμολογία ονομάζεται συνδεσμολογία αστέρα ή Υ. Μπορούμε να πάρουμε είτε τις 3 φασικές είτε τις 3 πολικές τάσεις από αυτή.
- Επίσης θα μπορούσε μια τριφασική πηγή να είναι συνδεδεμένη και ως εξής:
- Η συνδεσμολογία ονομάζεται συνδεσμολογία τριγώνου ή Δ. Μπορούμε να πάρουμε τις 3 πολικές τάσεις από αυτή.



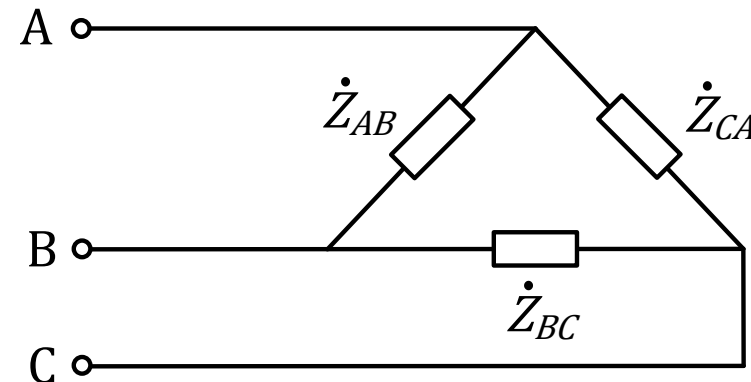
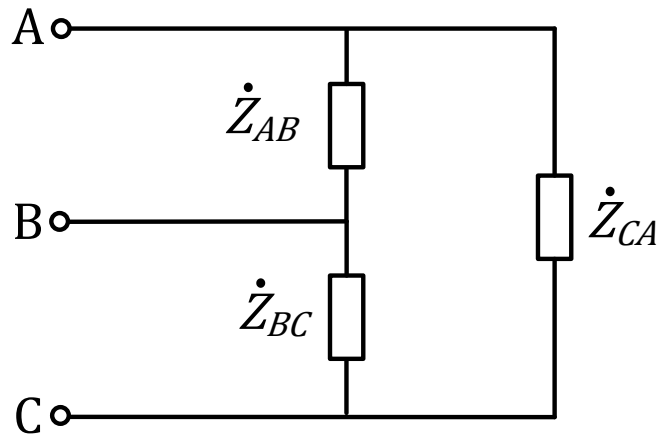
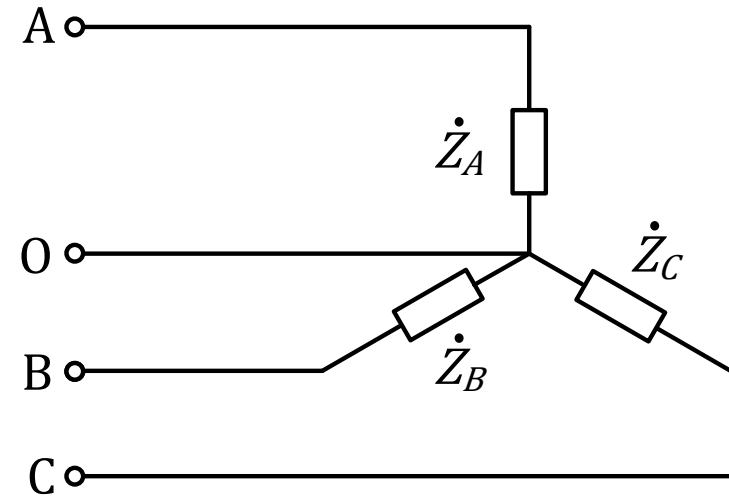
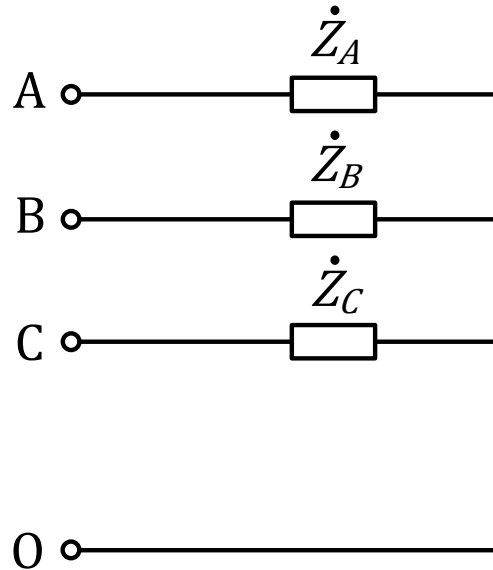
Τριφασική πηγή τάσεων

- Συνήθως οι πηγές συνδέονται σε Υ, γιατί η συνδεσμολογία Δ έχει τεχνικά προβλήματα.
- Από την πλευρά του καταναλωτή που συνδέει ένα φορτίο στην πηγή συμμετρικού τριφασικού συστήματος τάσεων δεν έχει σημασία πώς παράγονται οι τάσεις. Μια συμμετρική τριφασική πηγή τάσης μπορεί να παριστάνεται όπως φαίνεται στο σχήμα ή και μόνο με τους ακροδέκτες της A, B, C, N.



Τριφασικό φορτίο

- Όπως οι πηγές έτσι και τα φορτία μπορεί να συνδέονται σε αστέρα ή σε τρίγωνο.



Τριφασικό φορτίο

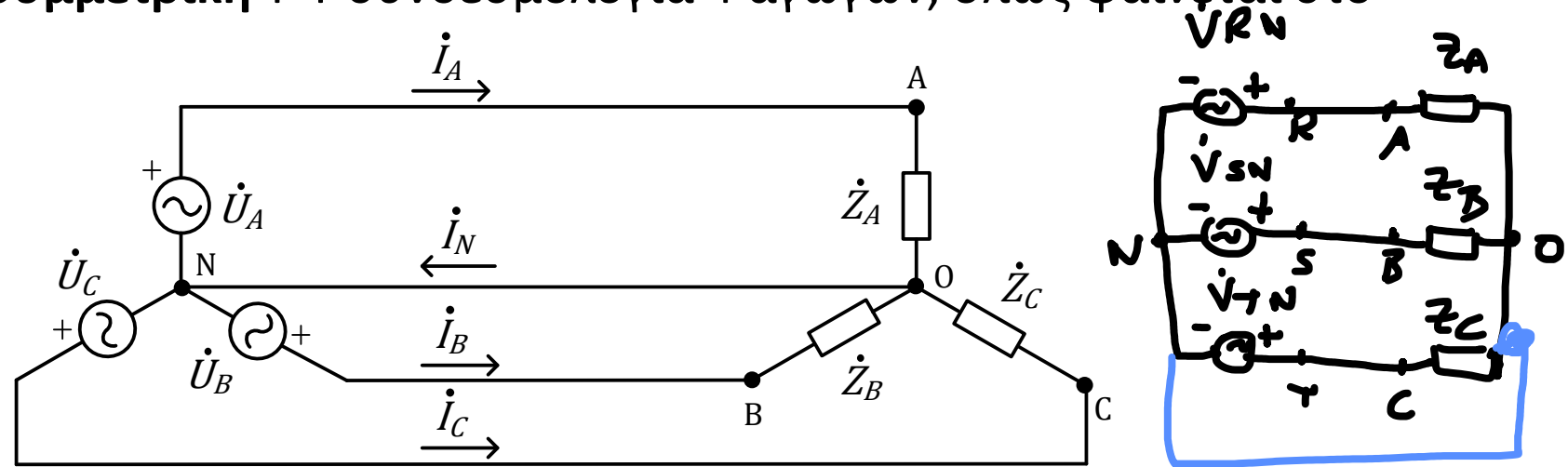
- Όταν το φορτίο είναι σε αστέρα οι σύνθετες αντιστάσεις συνδέονται σε έναν κοινό κόμβο (ουδέτερο), ενώ όταν είναι σε τρίγωνο συνδέονται σε βρόχο.
- Αν οι 3 σύνθετες αντιστάσεις είναι ίσες, τότε το φορτίο είναι συμμετρικό. (Προσοχή: Ίσες ως προς **το μέτρο και τη γωνία**)
- Ο αγωγός του ουδετέρου μπορεί να συνδέεται, οπότε έχουμε σύνδεση αστέρα 4 αγωγών ή να μην συνδέεται, οπότε έχουμε σύνδεση αστέρα 3 αγωγών. Η λειτουργία του ουδέτερου αγωγού στη συνδεσμολογία Υ θα εξεταστεί παρακάτω.
- Στην περίπτωση Δ συνδεσμολογίας δεν υπάρχει ουδέτερος αγωγός.

Συνδεσμολογίες τριφασικών κυκλωμάτων

- Η κάθε συνδεσμολογία έχει τα πλεονεκτήματά της.
- Στην περίπτωση του Υ έχουμε πρόσβαση σε δύο διαφορετικά επίπεδα τάσεων, την πολική (φάση-φάση) και τη φασική (φάση-ουδέτερος).
- Τρεις Ζ συνδεδεμένες σε τρίγωνο αντί για αστέρα λειτουργούν υπό υψηλότερη τάση, άρα προκύπτει και υψηλότερη τιμή ενεργού ισχύος στο φορτίο.
- Στην περίπτωση του Υ υπάρχει διαθέσιμο σημείο σύνδεσης με τη γη για λόγους προστασίας από επικίνδυνες τάσεις.
- Η συνδεσμολογία Δ παρέχει δυνατότητα αποκοπής τρίτων αρμονικών.
κλπ

Συνδεσμολογία Υ-Υ

- Θεωρούμε **συμμετρική** Υ-Υ συνδεσμολογία 4 αγωγών, όπως φαίνεται στο σχήμα.



- Στα άκρα του κάθε κλάδου του Υ η τάση ισούται με μία φασική της πηγής.
- Λόγω της συμμετρίας θα είναι $\dot{Z}_A = \dot{Z}_B = \dot{Z}_C = \dot{Z}_Y$.
- Οι φασικές τάσεις (θεωρώντας θετική ακολουθία) είναι:

$$\dot{U}_A = U_\varphi \angle(+90^\circ)$$

$$\dot{U}_B = U_\varphi \angle(-30^\circ)$$

$$\dot{U}_C = U_\varphi \angle(+210^\circ)$$

όπου U_φ η rms τιμή της τάση μεταξύ ουδετέρου και οποιασδήποτε φάσης.

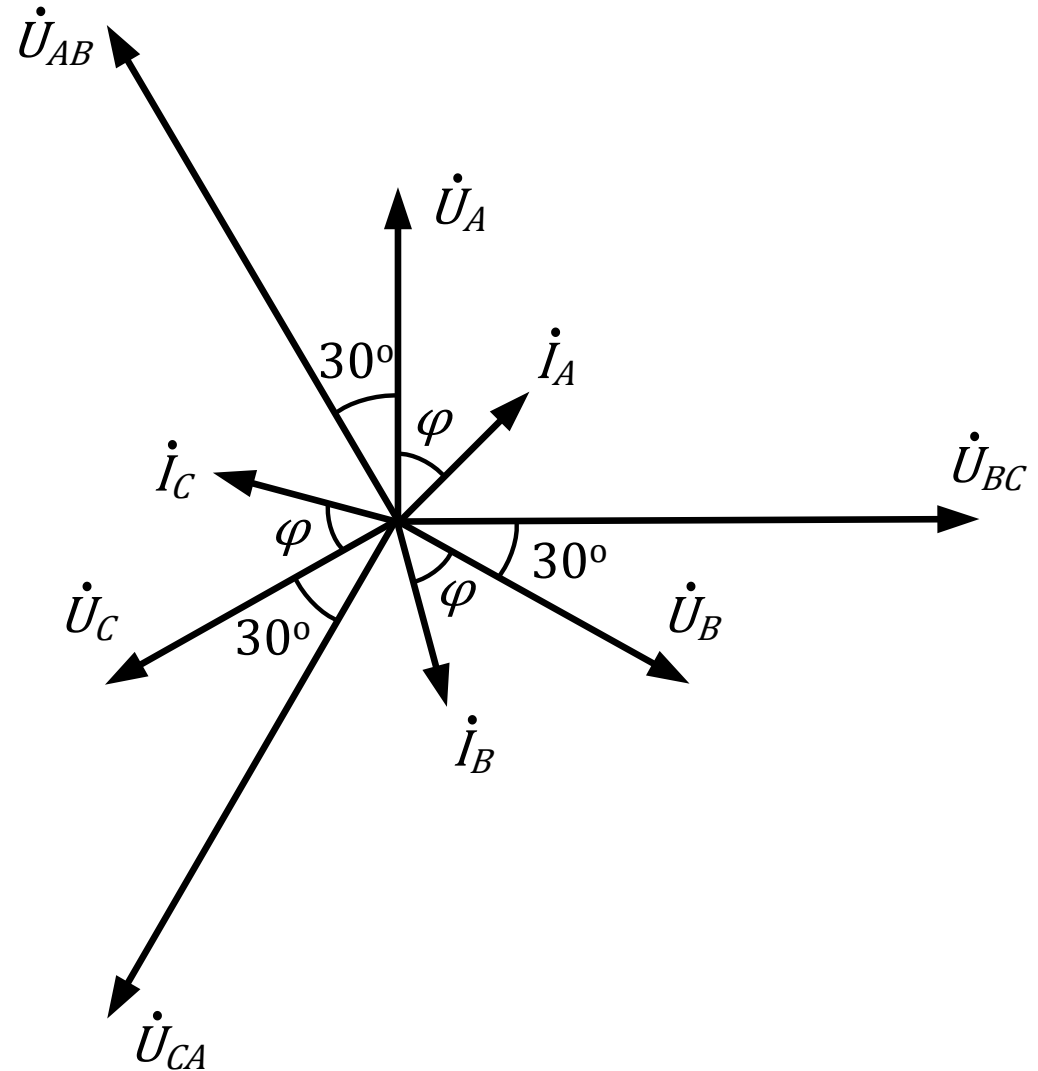
Συνδεσμολογία Υ-Υ

- Επομένως τα ρεύματα στις γραμμές θα είναι

$$\begin{aligned} \dot{I}_A &= \frac{\dot{U}_A}{\dot{Z}_A} = \frac{U_\varphi \angle 90^\circ}{\dot{Z}_Y} = \frac{U_\varphi \angle 90^\circ}{Z_Y \angle \varphi} \\ &= \frac{U_\varphi}{Z_Y} \angle (90^\circ - \varphi) \end{aligned}$$

$$\begin{aligned} \dot{I}_B &= \frac{\dot{U}_B}{\dot{Z}_B} = \frac{U_\varphi \angle (-30^\circ)}{\dot{Z}_Y} = \frac{U_\varphi \angle (-30^\circ)}{Z_Y \angle \varphi} \\ &= \frac{U_\varphi}{Z_Y} \angle (-30^\circ - \varphi) \end{aligned}$$

$$\begin{aligned} \dot{I}_C &= \frac{\dot{U}_C}{\dot{Z}_C} = \frac{U_\varphi \angle 210^\circ}{\dot{Z}_Y} = \frac{U_\varphi \angle 210^\circ}{Z_Y \angle \varphi} \\ &= \frac{U_\varphi}{Z_Y} \angle (210^\circ - \varphi) \end{aligned}$$



Συνδεσμολογία Υ-Υ

- Τα ρεύματα γραμμών είναι ίδια με τα ρεύματα των φάσεων.
- Τα ρεύματα έχουν ίσα μέτρα και παρουσιάζουν διαφορά φάσης φ με τις αντίστοιχες φασικές τάσεις.
- Επομένως το \dot{I}_B έπεται κατά 120° του \dot{I}_A και το \dot{I}_C προηγείται κατά 120° του \dot{I}_A , όπως και οι αντίστοιχες τάσεις. Τα ρεύματα είναι δηλαδή και αυτά συμμετρικά.
- Το ρεύμα στον ουδέτερο προκύπτει από KCL και είναι

$$\dot{I}_N = \dot{I}_A + \dot{I}_B + \dot{I}_C$$

- Επειδή τα 3 διανύσματα \dot{I}_A , \dot{I}_B , \dot{I}_C έχουν ίδια μέτρα και διαφορά φάσης 120° μεταξύ τους θα είναι

$$\dot{I}_N = 0$$

- Δηλαδή δεν ρέει ρεύμα στον ουδέτερο και επομένως ότι αντίσταση και αν έχει, ακόμη και αν είναι ανοιχτοκύκλωμα (συνδεσμολογία Υ-Υ 3 αγωγών), τα παραπάνω αποτελέσματα δεν αλλάζουν.
- Όμως προσοχή: Για να ισχύει αυτό πρέπει το φορτίο να είναι συμμετρικό.

Συνδεσμολογία Υ-Υ

- Λόγω της συμμετρίας των ρευμάτων μπορούμε να υπολογίσουμε μόνο το ένα από αυτά. Τα άλλα θα είναι απλώς μετατοπισμένα κατά μία γνωστή γωνία ($\pm 120^\circ$).
- Με βάση αυτό το συμπέρασμα αντί για το τριφασικό κύκλωμα μπορούμε να αναλύσουμε ένα μονοφασικό με τάση \dot{U}_A και σύνθετη αντίσταση \dot{Z}_A , να υπολογίσουμε το ρεύμα σε αυτό, το οποίο προφανώς θα είναι \dot{I}_A , και στη συνέχεια λαμβάνοντας υπόψη τη διαδοχή φάσεων να βρούμε τάσεις και ρεύματα στις άλλες φάσεις.

Παράδειγμα 1

- Ένα συμμετρικό τριφασικό φορτίο συνδεδεμένο σε Y έχει σύνθετη αντίσταση $\dot{Z}_Y = 10 + j5 \Omega$ ανά φάση και τροφοδοτείται από τριφασική πηγή συμμετρικού συστήματος τάσεων θετικής ακολουθίας συνδεδεμένη σε Y με $U_\phi = 100 \text{ V}$. Να βρεθούν τα ρεύματα των γραμμών.

Απάντηση:

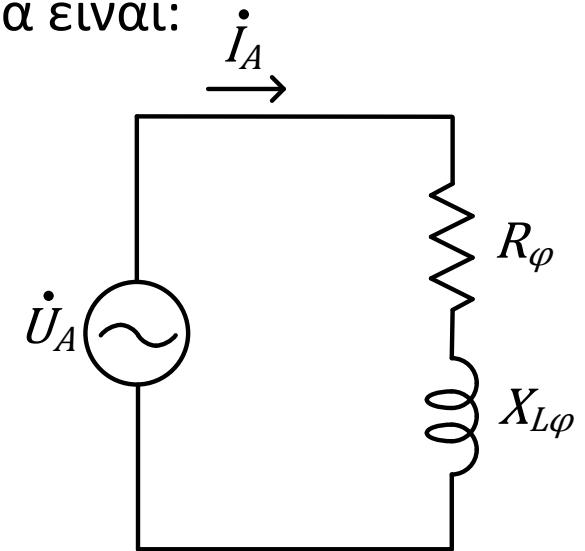
- Το κύκλωμα είναι συμμετρικό, επομένως μπορούμε να χρησιμοποιήσουμε το μονοφασικό ισοδύναμο. Το ρεύμα στο κύκλωμα αυτό θα είναι:

$$\dot{I}_A = \frac{\dot{U}_A}{\dot{Z}_A} = \frac{\dot{U}_A}{\dot{Z}_Y} = \frac{100 \angle 90^\circ}{10 + j5} = 4 + j8 = 8.944 \angle 63^\circ \text{ A}$$

- Τα άλλα δύο ρεύματα λόγω συμμετρίας και με δεδομένο ότι η ακολουθία φάσεων είναι θετική θα είναι:

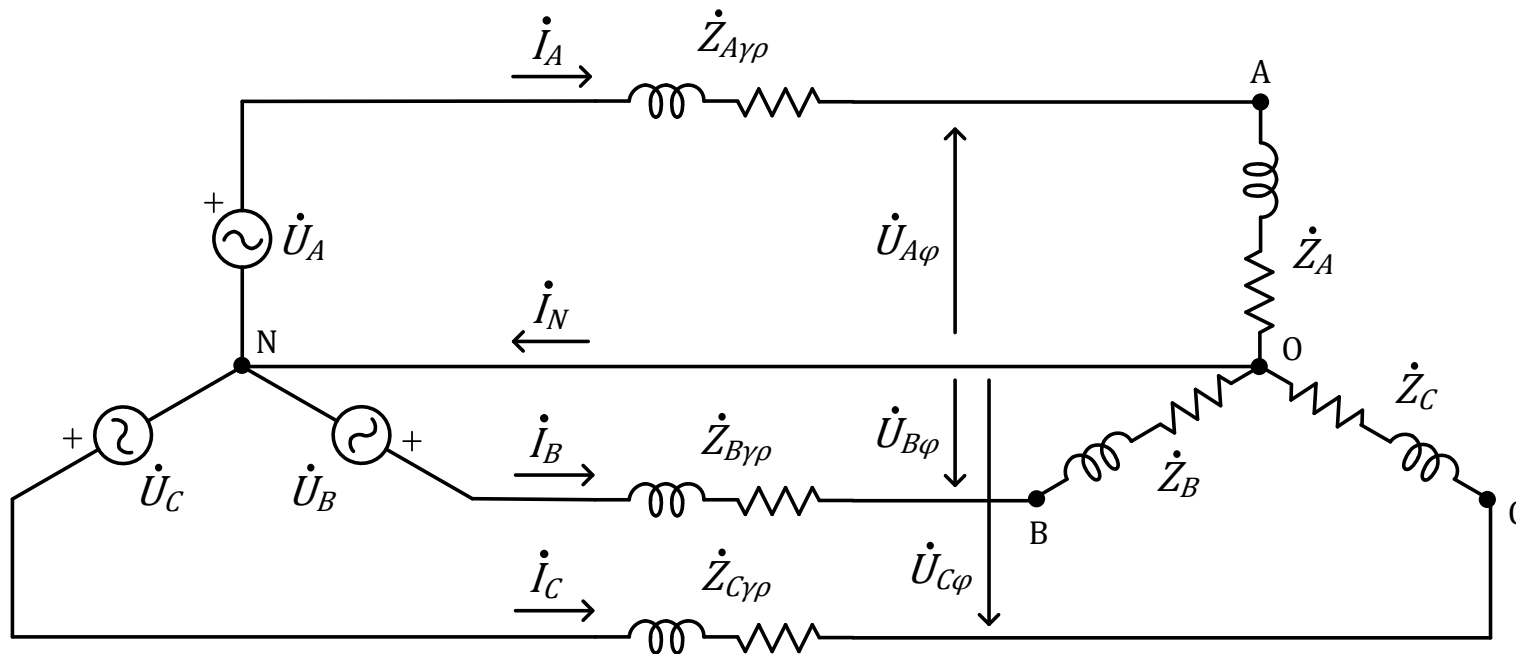
$$\dot{I}_B = 8.944 \angle (63^\circ - 120^\circ) = 8.944 \angle (-57^\circ) \text{ A}$$

$$\begin{aligned} \dot{I}_C &= 8.944 \angle (63^\circ + 120^\circ) = 8.944 \angle 183^\circ \\ &= 8.944 \angle (-177^\circ) \text{ A} \end{aligned}$$



Παράδειγμα 2

- Μια τριφασική πηγή τάσεων θετική ακολουθίας ABC συνδεδεμένη σε αστέρα έχει πολική τάση $U = 400$ V. Αν οι σύνθετες αντιστάσεις της γραμμής και του φορτίου είναι $\dot{Z}_{\gamma\rho} = 2 + j \Omega$ και $\dot{Z}_{\varphi} = 20 + j4 \Omega$ αντίστοιχα να βρεθούν τα ρεύματα γραμμής και οι τάσεις σε κάθε φάση του φορτίου.



Παράδειγμα 2

Απάντηση:

- Η φασική τάση της φάσης A της πηγής είναι

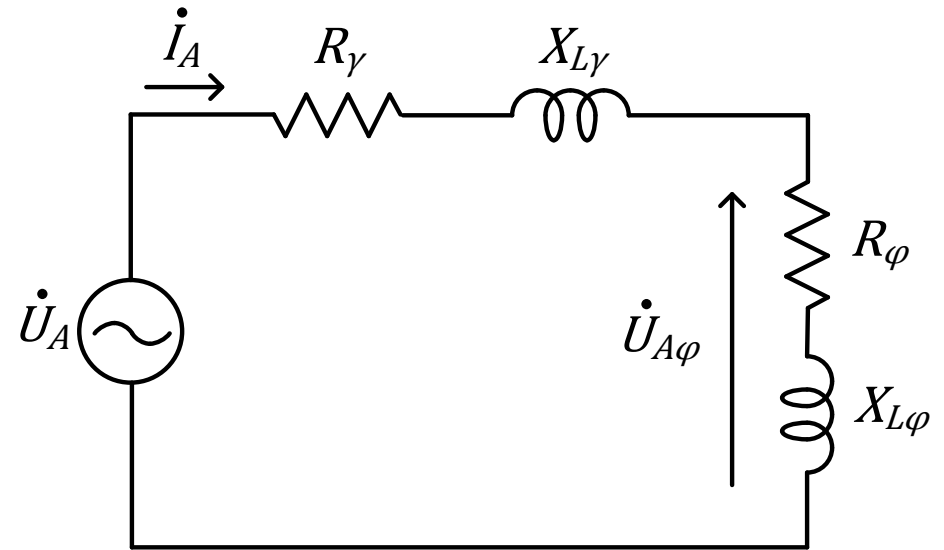
$$\dot{U}_A = \frac{400}{\sqrt{3}} \angle(+90^\circ) = 230 \angle(+90^\circ) \text{ V}$$

- Μπορούμε να θεωρήσουμε το μονοφασικό ισοδύναμο κύκλωμα του διπλανού σχήματος.
- Το ρεύμα στο κύκλωμα αυτό θα είναι

$$\dot{I}_A = \frac{230 \angle(+90^\circ)}{\dot{Z}_{\gamma\rho} + \dot{Z}_\varphi} = \frac{j230}{22 + j5} = 2.259 + j9.941 = 10.195 \angle 77.2^\circ \text{ A}$$

- Η τάση στο φορτίο για τη φάση A είναι

$$\dot{U}_{A\varphi} = \dot{I}_A \dot{Z}_\varphi = (2.259 + j9.941)(20 + j4) = 207.9 \angle(+88.5^\circ) \text{ V}$$



Παράδειγμα 2

- Από τις τιμές αυτές για τη φάση A μπορούμε να βρούμε τις τιμές των ρευμάτων και των τάσεων για τις άλλες δύο φάσεις.

$$\dot{I}_B = 10.195 \angle (77.2^\circ - 120^\circ) \text{ A} = 10.195 \angle (-42.8^\circ) \text{ A}$$

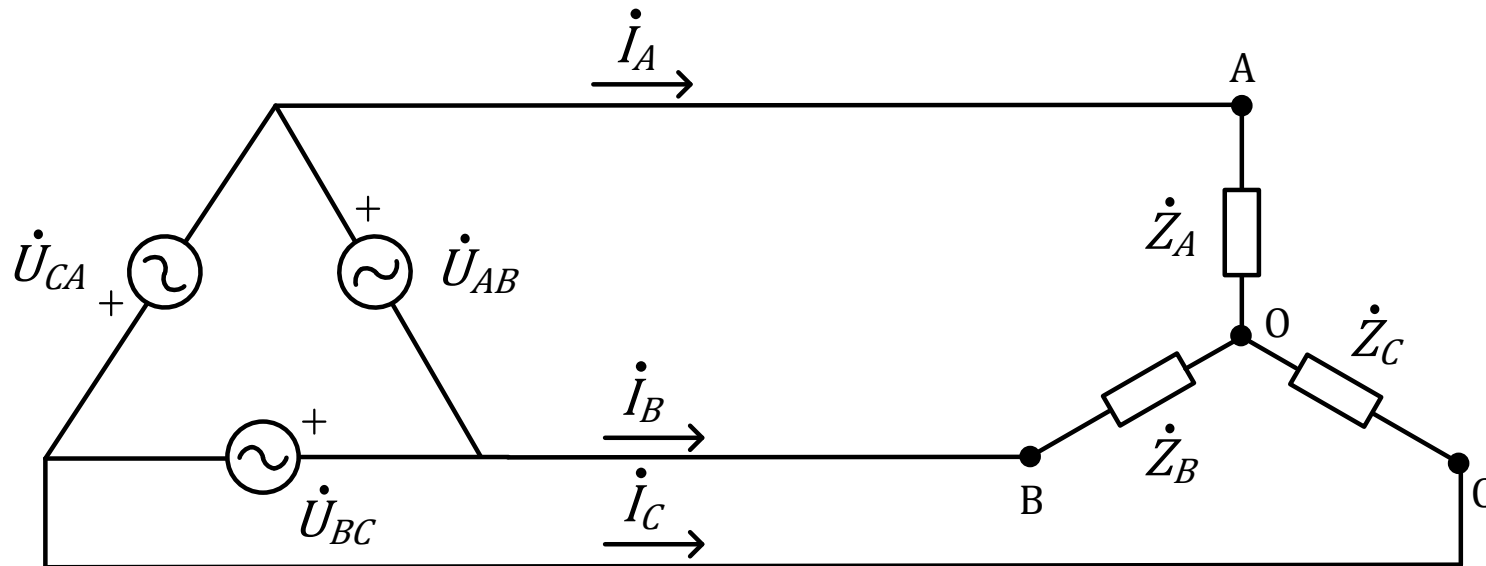
$$\dot{I}_C = 10.195 \angle (77.2^\circ + 120^\circ) \text{ A} = 10.195 \angle (+197.2^\circ) \text{ A}$$

$$\dot{U}_{B\varphi} = 207.9 \angle (88.5^\circ - 120^\circ) = 207.9 \angle (-31.5^\circ) \text{ V}$$

$$\dot{U}_{C\varphi} = 207.9 \angle (88.5^\circ + 120^\circ) = 207.9 \angle (+208.5^\circ) \text{ V}$$

Συνδεσμολογία Δ-Υ

- Θεωρούμε συμμετρική Δ-Υ συνδεσμολογία. (Δεν συνηθίζεται.)



- Η πηγή είναι συνδεδεμένη σε τρίγωνο. Οι τάσεις των επιμέρους πηγών του τριγώνου είναι

$$\begin{aligned}U_{AB} &= U \angle 120^\circ \text{ V} \\U_{BC} &= U \angle 0^\circ \text{ V} \\U_{CA} &= U \angle (-120^\circ) \text{ V}\end{aligned}$$

Παράδειγμα 3

- Ένα συμμετρικό τριφασικό φορτίο συνδεδεμένο σε Y με σύνθετη αντίσταση $\dot{Z}_Y = 10 + j5 \Omega$ ανά φάση τροφοδοτείται από τριφασική πηγή συμμετρικού συστήματος τάσεων θετικής ακολουθίας συνδεδεμένη σε Δ με πολική τάση 400 V. Να υπολογίσετε τα ρεύματα των κλάδων του φορτίου.

Απάντηση:

- Η τάση της πηγής είναι

$$\dot{U}_{AB} = 400 \angle 120^\circ \text{ V}$$

- Η ισοδύναμη πηγή τάσης σε σύνδεση Y θα έχει φασική τάση

$$\dot{U}_A = \frac{\dot{U}_{AB}}{\sqrt{3}} \angle (-30^\circ) = 230.94 \angle 90^\circ \text{ V}$$

- Άρα το ρεύμα γραμμής θα είναι

$$\dot{I}_A = \frac{\dot{U}_A}{\dot{Z}_Y} = 9.238 + j18.475 = 20.656 \angle 63.4^\circ \text{ A}$$

- Επίσης $\dot{I}_B = 20.656 \angle (-56.6^\circ) \text{ A}$, $\dot{I}_C = 20.656 \angle (-176.6) \text{ A}$.

Συνδεσμολογία Δ-Υ

- Για να βρούμε τα ρεύματα των γραμμών μπορούμε να εφαρμόσουμε KVL.

$$-\dot{U}_{AB} + \dot{Z}_A \dot{I}_A - \dot{Z}_B \dot{I}_B = 0$$

- Επειδή $\dot{Z}_A = \dot{Z}_B = \dot{Z}_Y$, προκύπτει ότι

$$\dot{I}_A - \dot{I}_B = \frac{\dot{U}_{AB}}{\dot{Z}_Y}$$

- Θα μπορούσαμε επίσης να θεωρήσουμε μια ισοδύναμη πηγή σε συνδεσμολογία Υ με φασικές τάσεις

$$U_A = \frac{U}{\sqrt{3}} \angle 90^\circ \text{ V}$$

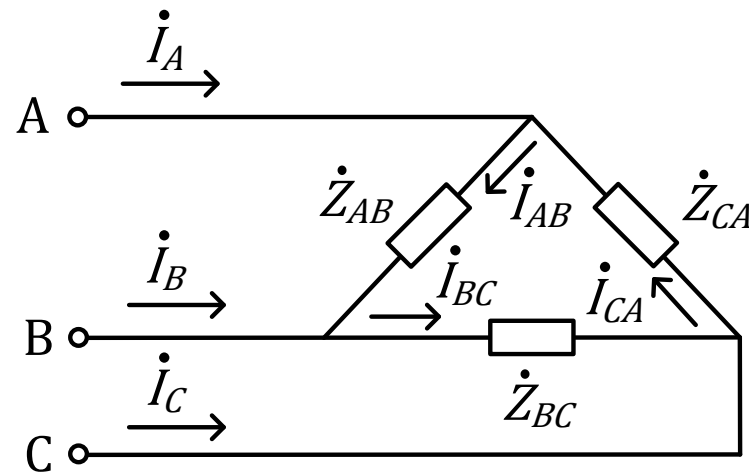
$$U_B = \frac{U}{\sqrt{3}} \angle (-30^\circ) \text{ V}$$

$$U_C = \frac{U}{\sqrt{3}} \angle 210^\circ \text{ V}$$

- Δηλαδή μπορούμε να μετατρέψουμε την πηγή από τρίγωνο σε αστέρα και να αναλύσουμε το μονοφασικό ισοδύναμο όπως παραπάνω.

Φορτίο σε συνδεσμολογία Δ

- Θεωρούμε ότι το φορτίο είναι συνδεδεμένο σε τρίγωνο.



- Η τάση στα άκρα κάθε κλάδου του φορτίου είναι ίση με μια πολική τάση της πηγής. Επομένως τα ρεύματα των κλάδων του Δ είναι

$$\dot{I}_{AB} = \frac{\dot{U}_{AB}}{\dot{Z}_{AB}}$$

$$\dot{I}_{BC} = \frac{\dot{U}_{BC}}{\dot{Z}_{BC}}$$

$$\dot{I}_{CA} = \frac{\dot{U}_{CA}}{\dot{Z}_{CA}}$$

Φορτίο σε συνδεσμολογία Δ

- Τα ρεύματα των γραμμών όμως δεν είναι τα ίδια με τα ρεύματα των κλάδων του φορτίου.
- Αν εφαρμόσουμε KCL στις κορυφές του τριγώνου, προκύπτουν οι εξισώσεις:

$$\dot{I}_A + \dot{I}_{CA} = \dot{I}_{AB} \Rightarrow \dot{I}_A = \dot{I}_{AB} - \dot{I}_{CA}$$

$$\dot{I}_B + \dot{I}_{AB} = \dot{I}_{BC} \Rightarrow \dot{I}_B = \dot{I}_{BC} - \dot{I}_{AB}$$

$$\dot{I}_C + \dot{I}_{BC} = \dot{I}_{CA} \Rightarrow \dot{I}_C = \dot{I}_{CA} - \dot{I}_{BC}$$

- Για συμμετρικό φορτίο ισχύει ότι $\dot{Z}_{AB} = \dot{Z}_{BC} = \dot{Z}_{CA} = \dot{Z}_{\Delta}$, επομένως

$$\dot{I}_{AB} = \frac{\dot{U}_{AB}}{\dot{Z}_{\Delta}} = \frac{U}{\dot{Z}_{\Delta}} \angle 120^\circ$$

$$\dot{I}_{BC} = \frac{\dot{U}_{BC}}{\dot{Z}_{\Delta}} = \frac{U}{\dot{Z}_{\Delta}} \angle 0^\circ$$

$$\dot{I}_{CA} = \frac{\dot{U}_{CA}}{\dot{Z}_{\Delta}} = \frac{U}{\dot{Z}_{\Delta}} \angle (-120^\circ)$$

Φορτίο σε συνδεσμολογία Δ

- Τότε τα ρεύματα γραμμών είναι

$$\begin{aligned} \dot{I}_A &= \dot{I}_{AB} - \dot{I}_{CA} = \frac{\dot{U}_{AB}}{\dot{Z}_\Delta} - \frac{\dot{U}_{CA}}{\dot{Z}_\Delta} = \frac{U \angle 120^\circ}{\dot{Z}_\Delta} - \frac{U \angle (-120^\circ)}{\dot{Z}_\Delta} \\ &= \frac{U}{\dot{Z}_\Delta} \left(-\frac{1}{2} + j\frac{\sqrt{3}}{2} \right) - \frac{U}{\dot{Z}_\Delta} \left(-\frac{1}{2} - j\frac{\sqrt{3}}{2} \right) = j\frac{U\sqrt{3}}{\dot{Z}_\Delta} = \frac{U\sqrt{3}}{\dot{Z}_\Delta} \angle 90^\circ \\ &= \dot{I}_{AB} \sqrt{3} \angle (-30^\circ) \end{aligned}$$

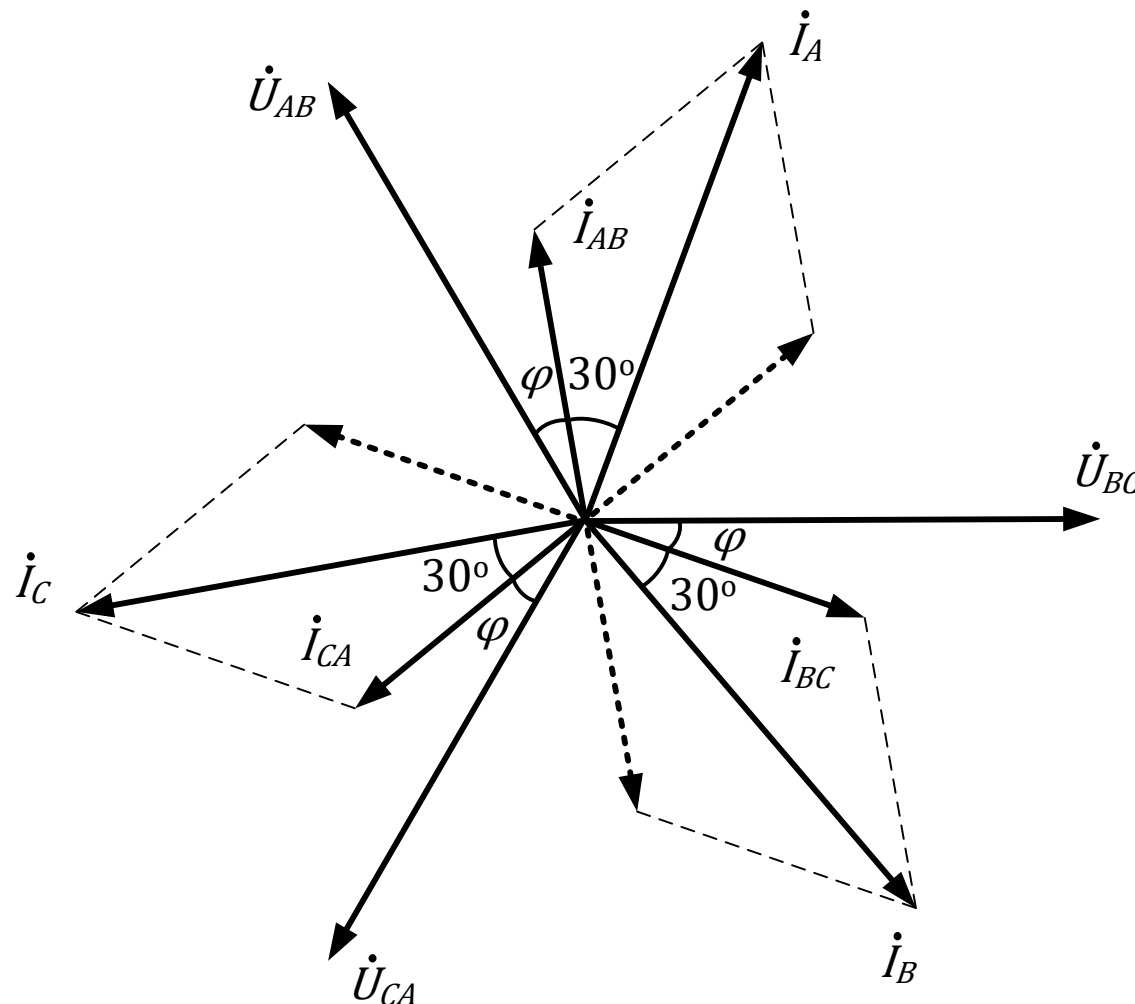
$$\begin{aligned} \dot{I}_B &= \dot{I}_{BC} - \dot{I}_{AB} = \frac{\dot{U}_{BC}}{\dot{Z}_\Delta} - \frac{\dot{U}_{AB}}{\dot{Z}_\Delta} = \frac{U \angle 0^\circ}{\dot{Z}_\Delta} - \frac{U \angle 120^\circ}{\dot{Z}_\Delta} = \frac{U}{\dot{Z}_\Delta} - \frac{U}{\dot{Z}_\Delta} \left(-\frac{1}{2} + j\frac{\sqrt{3}}{2} \right) \\ &= \frac{U\sqrt{3}}{\dot{Z}_\Delta} \left(\frac{\sqrt{3}}{2} - j\frac{1}{2} \right) = \frac{U\sqrt{3}}{\dot{Z}_\Delta} \angle (-30^\circ) = \dot{I}_{BC} \sqrt{3} \angle (-30^\circ) \end{aligned}$$

$$\begin{aligned} \dot{I}_C &= \dot{I}_{CA} - \dot{I}_{BC} = \frac{\dot{U}_{CA}}{\dot{Z}_\Delta} - \frac{\dot{U}_{BC}}{\dot{Z}_\Delta} = \frac{U \angle (-120^\circ)}{\dot{Z}_\Delta} - \frac{U \angle 0^\circ}{\dot{Z}_\Delta} = \frac{U}{\dot{Z}_\Delta} \left(-\frac{1}{2} - j\frac{\sqrt{3}}{2} \right) - \frac{U}{\dot{Z}_\Delta} \\ &= \frac{U\sqrt{3}}{\dot{Z}_\Delta} \left(-\frac{\sqrt{3}}{2} - j\frac{1}{2} \right) = \frac{U\sqrt{3}}{\dot{Z}_\Delta} \angle 210^\circ = \dot{I}_{CA} \sqrt{3} \angle (-30^\circ) \end{aligned}$$

Φορτίο σε συνδεσμολογία Δ

- Αν λοιπόν συμβολίσουμε με I την rms τιμή των ρευμάτων των γραμμών, η rms τιμή του ρεύματος κάθε κλάδου του τριγώνου I_{Δ} θα είναι

$$I_{\Delta} = \frac{I}{\sqrt{3}}$$



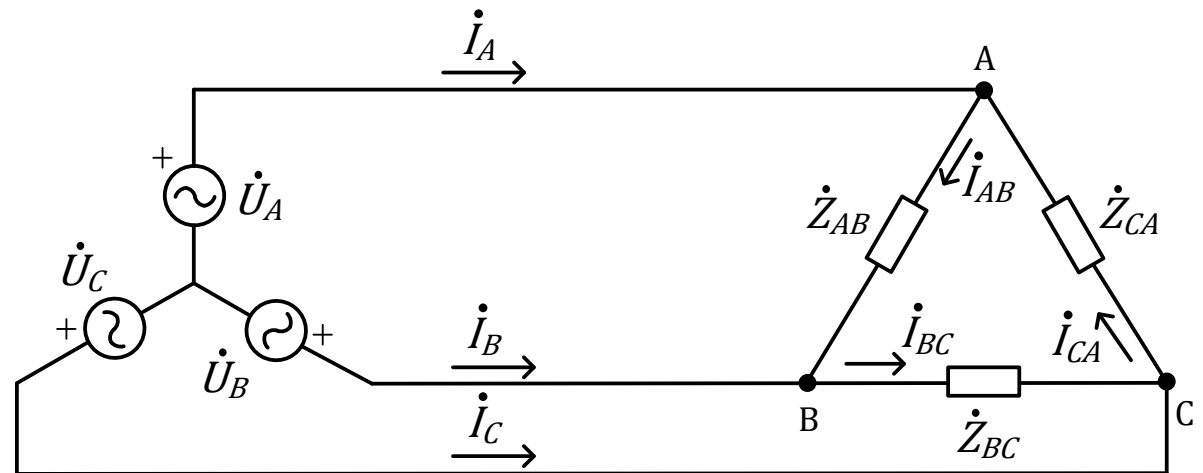
Παράδειγμα 4

- Ένα συμμετρικό τριφασικό φορτίο συνδεδεμένο σε Δ έχει σύνθετη αντίσταση $\dot{Z}_{\Delta} = 10 + j5 \Omega$ σε κάθε κλάδο και τροφοδοτείται από τριφασική πηγή συμμετρικού συστήματος τάσεων θετικής ακολουθίας συνδεδεμένης σε Y με $\dot{U}_A = 100 \angle 90^\circ$. Να βρεθούν τα ρεύματα των γραμμών και τα ρεύματα των κλάδων του τριγώνου.

Απάντηση:

- Η τάση στα άκρα της \dot{Z}_{BC} είναι η πολική τάση της πηγής \dot{U}_{BC} . Άρα

$$\begin{aligned} \dot{I}_{BC} &= \frac{\dot{U}_{BC}}{\dot{Z}_{BC}} = \frac{100\sqrt{3} \angle 0^\circ}{10 + j5} \\ &= 13.856 - j6.928 \\ &= 15.492 \angle (-26.6^\circ) \text{ A} \end{aligned}$$

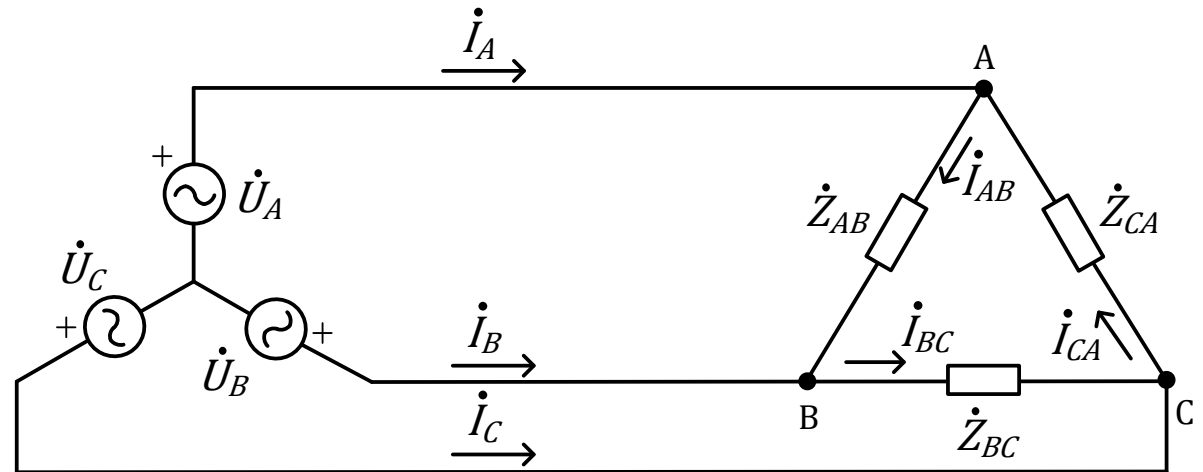


Παράδειγμα 4

- Επίσης λόγω συμμετρίας και επειδή έχουμε θετική ακολουθία φάσεων:

$$\begin{aligned} \dot{I}_{AB} &= 15.492 \angle (-26.6^\circ + 120^\circ) \\ &= 15.492 \angle 93.4^\circ \text{ A} \end{aligned}$$

$$\begin{aligned} \dot{I}_{CA} &= 15.492 \angle (-26.6^\circ - 120^\circ) \\ &= 15.492 \angle (-146.6^\circ) \text{ A} \end{aligned}$$



- Τα ρεύματα γραμμών θα είναι:

$$\dot{I}_A = 15.492\sqrt{3} \angle (93.4^\circ - 30^\circ) = 26.833 \angle 63.4^\circ \text{ A}$$

$$\dot{I}_B = 15.492\sqrt{3} \angle (-26.6^\circ - 30^\circ) = 26.833 \angle (-56.6^\circ) \text{ A}$$

$$\dot{I}_C = 15.492\sqrt{3} \angle (-146.6^\circ - 30^\circ) = 26.833 \angle (-176.6^\circ) \text{ A}$$

- Τα ρεύματα γραμμών θα μπορούσαν να είχαν βρεθεί και από το μονοφασικό ισοδύναμο με $\dot{Z}_Y = \dot{Z}_\Delta / 3 = (10 + j5) / 3 = 3.727 \angle 26.6^\circ \Omega$. Πράγματι:

$$\dot{I}_A = \frac{\dot{U}_A}{\dot{Z}_Y} = 12 + j24 = 26.833 \angle 63.4^\circ \text{ A}$$

Ασύμμετρα τριφασικά κυκλώματα

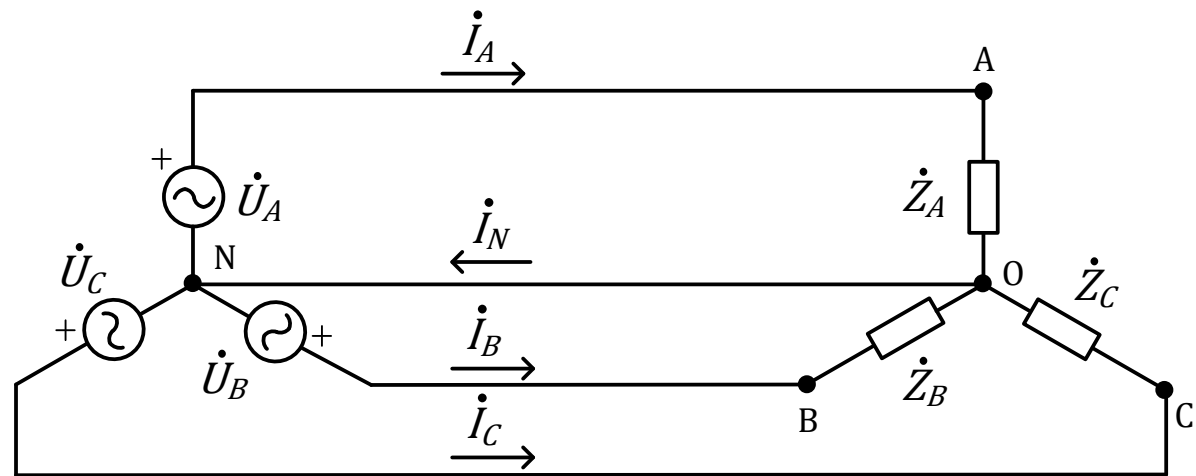
- Ένα κύκλωμα μπορεί να είναι μη συμμετρικό λόγω των τάσεων της πηγής ή της σύνθετης αντίστασης του φορτίου. Θα θεωρήσουμε τη δεύτερη περίπτωση.
- Για την ανάλυσή του χρησιμοποιούμε τις γνωστές τεχνικές ανάλυσης κυκλωμάτων (πχ μέθοδο βρόχων).
- Στον ασύμμετρο αστέρα 4 αγωγών με ιδανικούς αγωγούς (που δεν έχουν δηλαδή δική τους σύνθετη αντίσταση) αρκεί να λύσουμε τις παρακάτω εξισώσεις:

$$\dot{I}_A = \frac{\dot{U}_A}{\dot{Z}_A}$$

$$\dot{I}_B = \frac{\dot{U}_B}{\dot{Z}_B}$$

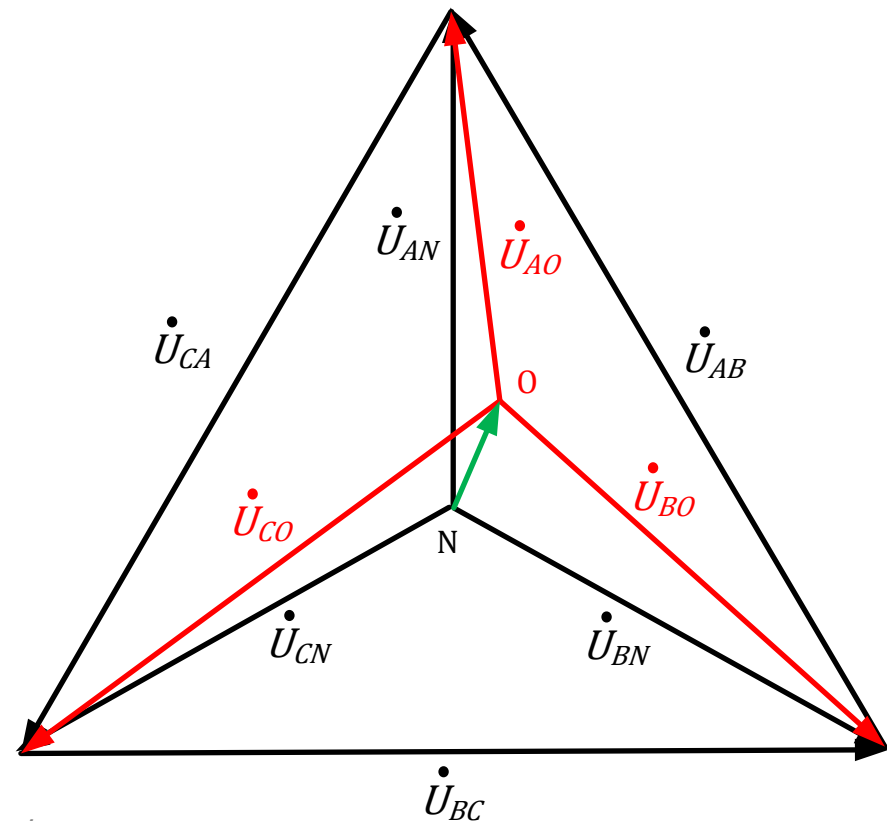
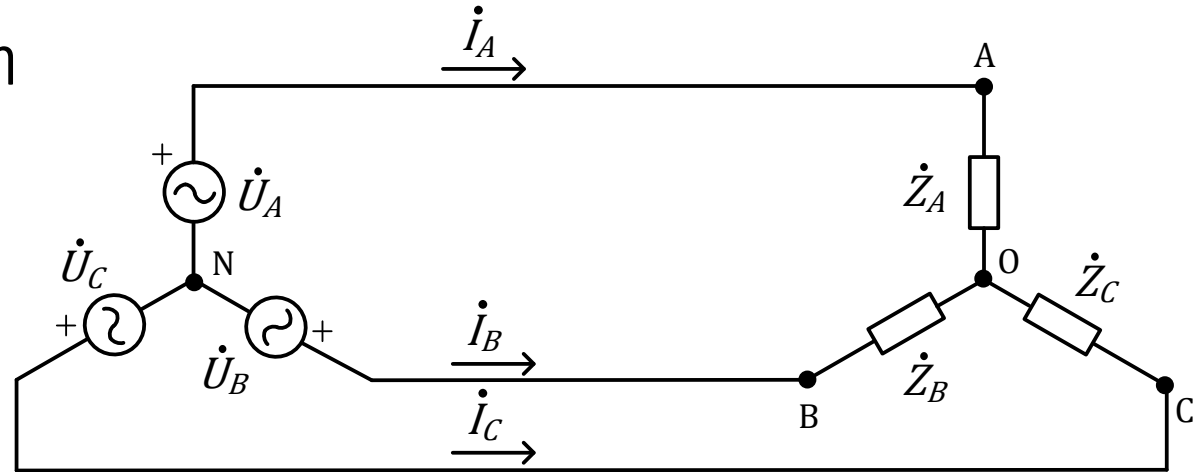
$$\dot{I}_C = \frac{\dot{U}_C}{\dot{Z}_C}$$

$$\dot{I}_N = \dot{I}_A + \dot{I}_B + \dot{I}_C$$



Ασύμμετρα τριφασικά κυκλώματα σε Y

- Όταν όμως δεν υπάρχει σύνδεση του ουδετέρου οι τάσεις στους κλάδους του αστέρα $\dot{U}_{AO}, \dot{U}_{BO}, \dot{U}_{CO}$ δεν είναι οι φασικές τάσεις της πηγής.
- Οι πολικές τάσεις βέβαια εξακολουθούν να είναι ίδιες.
- Μπορούμε πχ να χρησιμοποιήσουμε ανάλυση βρόχων για να βρούμε τις φασικές.
- Προκύπτει τότε ένα διανυσματικό διάγραμμα όπως αυτό που φαίνεται στο σχήμα.



Ασύμμετρα τριφασικά κυκλώματα σε Υ

- Όπως φαίνεται από το διάγραμμα, από δύο φασικές τάσεις πχ τις $\dot{U}_{BO}, \dot{U}_{CO}$ προκύπτει η πολική \dot{U}_{BC} . Η ίδια πολική τάση προκύπτει και από τις $\dot{U}_{BN}, \dot{U}_{CN}$.
- Η τάση μεταξύ του κόμβου O του φορτίου και του κόμβου N της πηγής είναι \dot{U}_{ON} και όχι μηδέν όπως θα ήταν αν υπήρχε σύνδεση του ουδέτερου ή αν το φορτίο ήταν συμμετρικό (με ή χωρίς σύνδεση ουδέτερου).
- Το φαινόμενο αυτό ονομάζεται μετατόπιση του ουδέτερου και μπορεί να προκύψει σε μια πραγματική τριφασική εγκατάσταση αν για κάποιο λόγο κοπεί ο ουδέτερος.
- Τα φορτία σε μια τριφασική εγκατάσταση είναι στην πλειοψηφία τους μονοφασικά. Κατανέμονται σε 3 φάσεις και το συνολικό φορτίο σχηματίζει Υ.
- Όταν το φορτίο είναι συμμετρικός αστέρας είτε συνδέεται ο ουδέτερος κόμβος του αστέρα με αυτόν της πηγής είτε όχι το αποτέλεσμα είναι το ίδιο. Δεν ρέει ρεύμα στον αγωγό αυτό και οι τάσεις στους κλάδους του αστέρα είναι οι φασικές τάσεις της πηγής.

Ασύμμετρα τριφασικά κυκλώματα σε Υ

- Αν και γίνεται προσπάθεια ισοκατανομής των φορτίων στις φάσεις, το αποτέλεσμα δεν μπορεί ποτέ να είναι συμμετρικό. Επειδή όμως ο ουδέτερος του φορτίου συνδέεται με τον ουδέτερο της πηγής, οι τάσεις στα φορτία είναι οι φασικές τάσεις της πηγής δηλαδή 230 V. Τότε βέβαια ρέει ρεύμα στον ουδέτερο.
- Αν για οποιονδήποτε λόγο διακοπεί ο ουδέτερος, τότε λόγω της μετατόπισης του ουδετέρου οι τάσεις στους κλάδους του αστέρα λαμβάνουν διαφορετικές τιμές από τις αναμενόμενες.
- Τα φορτία όμως αντέχουν ορισμένη τιμή τάσης (ονομαστική τάση) με κάποια μικρή ανοχή. Υπό υψηλότερη ή χαμηλότερη τάση από την ονομαστική τους μπορεί να μην λειτουργούν κανονικά ή ακόμη και να καταστραφούν.
- Είναι λοιπόν πολύ σημαντικό να υπάρχει ουδέτερος σε μια τριφασική εγκατάσταση.

Παράδειγμα 5

- Θεωρούμε ότι το φορτίο του σχήματος τροφοδοτείται από τριφασικό συμμετρικό σύστημα τάσεων αρνητικής ακολουθίας με $U = 400 \text{ V}$ και $\dot{Z}_A = 10 \Omega$, $\dot{Z}_B = 10 \angle 30^\circ \Omega$, $\dot{Z}_C = 10 \angle 45^\circ \Omega$. Να υπολογιστούν τα ρεύματα.

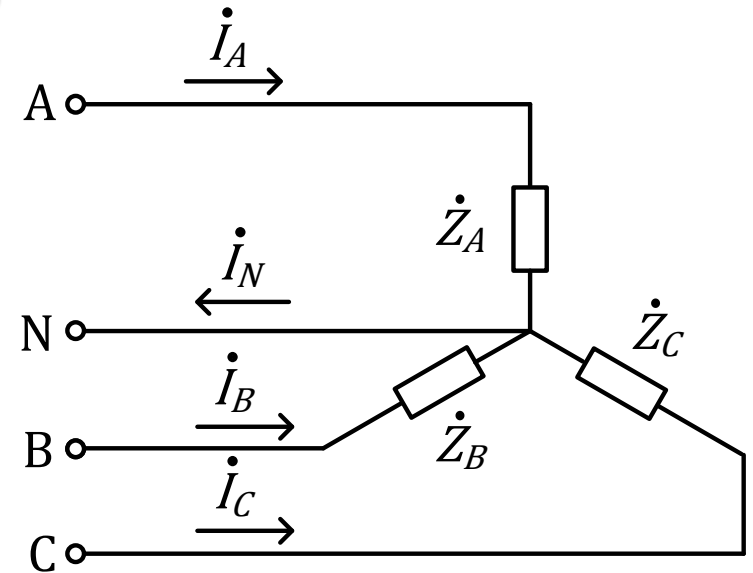
Απάντηση:

- Επειδή η ακολουθία είναι αρνητική οι φασικές τάσεις της πηγής είναι

$$\dot{U}_A = \frac{400}{\sqrt{3}} \angle (-90^\circ) \text{ V}$$

$$\dot{U}_B = \frac{400}{\sqrt{3}} \angle 30^\circ \text{ V}$$

$$\dot{U}_C = \frac{400}{\sqrt{3}} \angle 150^\circ \text{ V}$$



Παράδειγμα 5

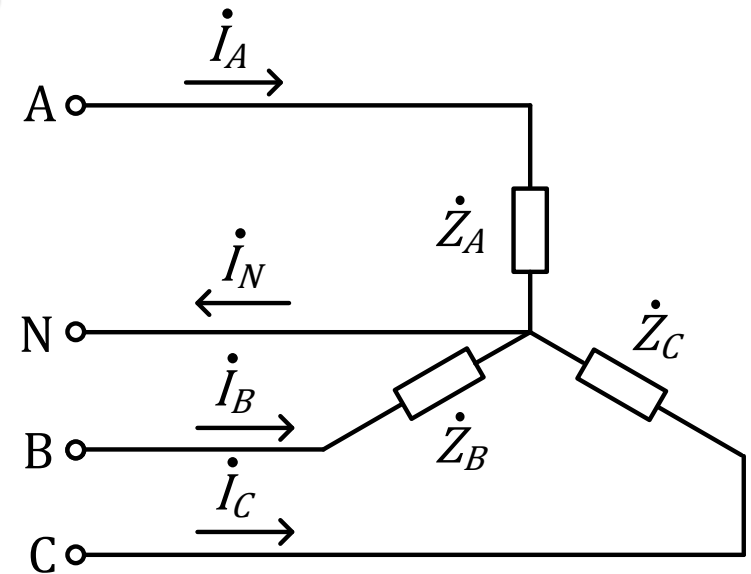
- Τα ρεύματα θα είναι

$$\dot{I}_A = \frac{\dot{U}_A}{\dot{Z}_A} = 23.1 \angle (-90^\circ) \text{ A}$$

$$\dot{I}_B = \frac{\dot{U}_B}{\dot{Z}_B} = 23.1 \angle 0^\circ \text{ A}$$

$$\dot{I}_C = \frac{\dot{U}_C}{\dot{Z}_C} = 23.1 \angle 105^\circ \text{ A}$$

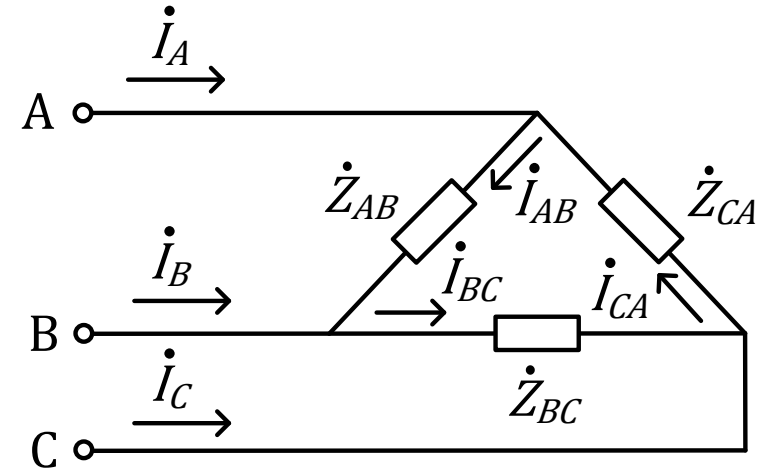
$$\dot{I}_N = \dot{I}_A + \dot{I}_B + \dot{I}_C = 17.1 \angle (-2.6^\circ) \text{ A}$$



- Οι σύνθετες αντιστάσεις μπορεί να έχουν ίδια μέτρα έχουν όμως διαφορετικές γωνίες, οπότε το φορτίο δεν είναι συμμετρικό. Γι' αυτό προκύπτει μη μηδενικό ρεύμα στον ουδέτερο αγωγό.

Παράδειγμα 6

- Θεωρούμε ότι το φορτίο του σχήματος τροφοδοτείται από τριφασικό συμμετρικό σύστημα τάσεων θετικής ακολουθίας με $U = 400 \text{ V}$ και $\dot{Z}_{AB} = 10 \Omega$, $\dot{Z}_{BC} = 10 \angle 30^\circ \Omega$, $\dot{Z}_{CA} = 15 \angle 30^\circ \Omega$. Να υπολογιστούν τα ρεύματα.



Απάντηση:

- Οι τάσεις στα άκρα των κλάδων του Δ είναι οι πολικές τάσεις της πηγής, αφού οι αγωγοί θεωρούνται ιδανικοί. Επομένως τα ρεύματα των κλάδων είναι

$$\dot{I}_{AB} = \frac{\dot{U}_{AB}}{\dot{Z}_{AB}} = \frac{400 \angle 120^\circ}{10} = 40 \angle 120^\circ \text{ A}$$

$$\dot{I}_{BC} = \frac{\dot{U}_{BC}}{\dot{Z}_{BC}} = \frac{400}{10 \angle 30^\circ} = 40 \angle (-30^\circ) \text{ A}$$

$$\dot{I}_{CA} = \frac{\dot{U}_{CA}}{\dot{Z}_{CA}} = \frac{400 \angle (-120^\circ)}{15 \angle 30^\circ} = 26.7 \angle (-150^\circ) \text{ A}$$

Παράδειγμα 6

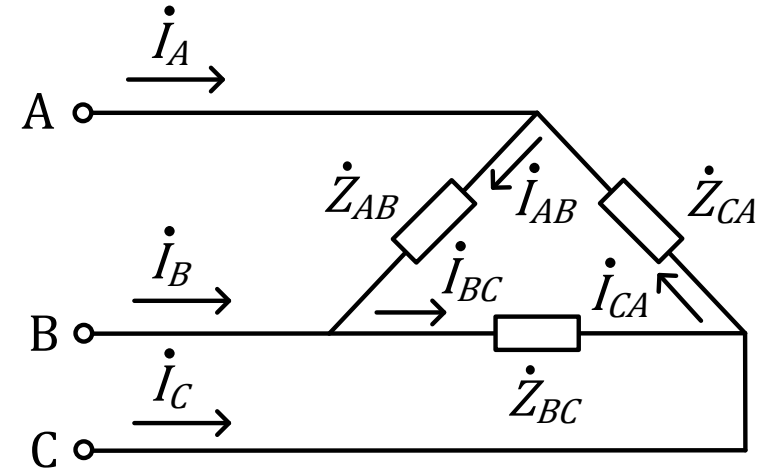
- Τα ρεύματα των γραμμών θα είναι

$$\dot{I}_A = \dot{I}_{AB} - \dot{I}_{CA} = 48.1 \angle 86.3^\circ \text{ A}$$

$$\dot{I}_B = \dot{I}_{BC} - \dot{I}_{AB} = 77.3 \angle (-45^\circ) \text{ A}$$

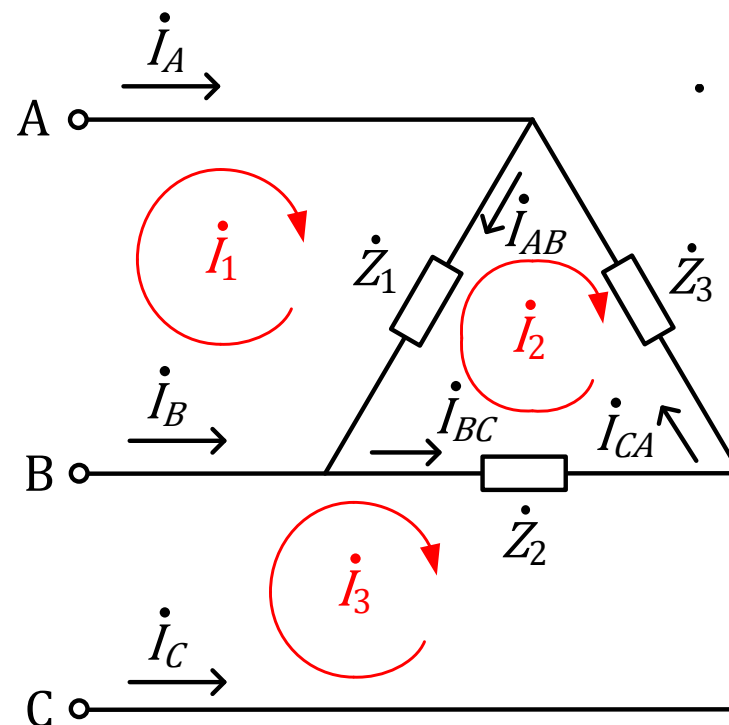
$$\dot{I}_C = \dot{I}_{CA} - \dot{I}_{BC} = 58.1 \angle 173.4^\circ \text{ A}$$

- Γενικά οι άγνωστοι είναι 6 και επομένως χρειάζονται 6 ανεξάρτητες εξισώσεις για να τους υπολογίσουμε (σύστημα 6 x 6).
- Βέβαια η περίπτωση αυτή είναι σχετικά απλή, γιατί οι τάσεις στις αντιστάσεις είναι γνωστές και οι 3 πρώτες εξισώσεις προέκυψαν με απλή εφαρμογή του νόμου του Ohm, οπότε υπολογίσαμε χωρίς πολύ κόπο τα 3 ρεύματα.



Παράδειγμα 7

- Στο κύκλωμα του σχήματος είναι $U = 400 \text{ V}$, $\dot{Z}_1 = 10 - j5 \Omega$, $\dot{Z}_2 = 5 + j4 \Omega$, $\dot{Z}_3 = 12 + j6 \Omega$.
- Να βρεθούν τα ρεύματα γραμμών. Να θεωρηθεί σύστημα τάσεων θετικής ακολουθίας.



Απάντηση:

- Εφαρμόζεται ανάλυση βρόχων:

$$-\dot{U}_{AB} + \dot{Z}_1(\dot{I}_1 - \dot{I}_2) = 0 \Rightarrow -\dot{U}_{AB} + \dot{Z}_1\dot{I}_1 - \dot{Z}_1\dot{I}_2 = 0 \quad \dot{I}_1 = \dots \dot{I}_2$$

$$-\dot{U}_{BC} + \dot{Z}_2(\dot{I}_3 - \dot{I}_2) = 0 \Rightarrow -\dot{U}_{BC} - \dot{Z}_2\dot{I}_2 + \dot{Z}_2\dot{I}_3 = 0 \quad \dot{I}_3 = \dots \dot{I}_2$$

$$\dot{Z}_1(\dot{I}_2 - \dot{I}_1) + \dot{Z}_3\dot{I}_2 + \dot{Z}_2(\dot{I}_2 - \dot{I}_3) = 0 \Rightarrow -\dot{Z}_1\dot{I}_1 + (\dot{Z}_1 + \dot{Z}_2 + \dot{Z}_3)\dot{I}_2 - \dot{Z}_2\dot{I}_3 = 0$$

- Με αντικατάσταση του \dot{I}_3 από τη δεύτερη στην τρίτη:

$$\dot{Z}_1\dot{I}_1 - \dot{Z}_1\dot{I}_2 = \dot{U}_{AB} \Rightarrow (10 - j5)\dot{I}_1 - (10 - j5)\dot{I}_2 = 400 \angle 120^\circ$$

$$-\dot{Z}_1\dot{I}_1 + (\dot{Z}_1 + \dot{Z}_3)\dot{I}_2 = \dot{U}_{BC} \Rightarrow -(10 - j5)\dot{I}_1 + (10 - j5 + 12 + j6)\dot{I}_2 = 400$$

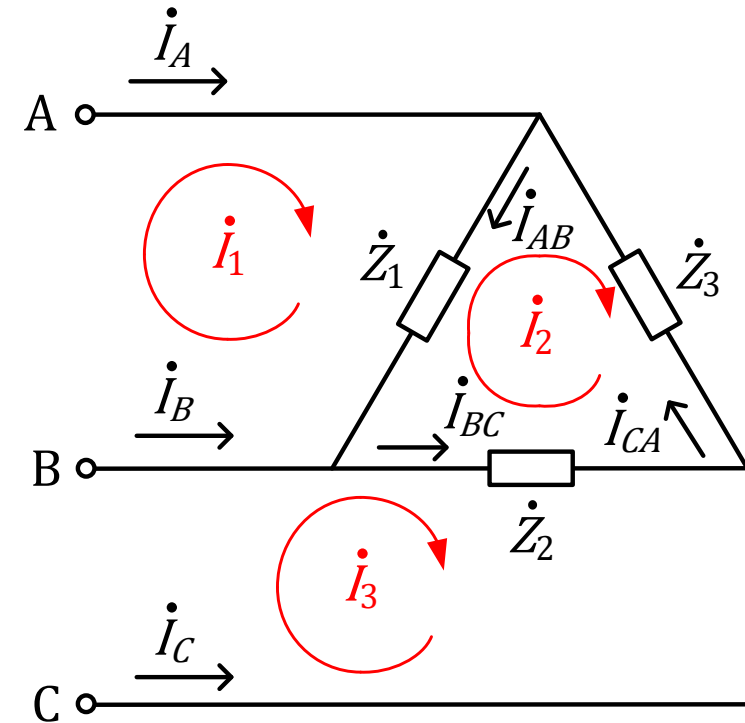
Παράδειγμα 7

- Βρίσκουμε τα εξής:

$$\Delta = \begin{vmatrix} \dot{Z}_1 & -\dot{Z}_1 \\ -\dot{Z}_1 & \dot{Z}_1 + \dot{Z}_3 \end{vmatrix} = 150$$

$$\Delta_1 = \begin{vmatrix} \dot{U}_{AB} & -\dot{Z}_1 \\ \dot{U}_{BC} & \dot{Z}_1 + \dot{Z}_3 \end{vmatrix} = -781 + j6183$$

$$\Delta_2 = \begin{vmatrix} \dot{Z}_1 & \dot{U}_{AB} \\ -\dot{Z}_1 & \dot{U}_{BC} \end{vmatrix} = 3905 + j2811$$



$$\dot{i}_1 = \frac{\Delta_1}{\Delta} = 41.548 \angle 97.2^\circ \text{ A}$$

$$\dot{i}_2 = \frac{\Delta_2}{\Delta} = 32.076 \angle 35.7^\circ \text{ A}$$

- Επίσης

$$\dot{i}_3 = \frac{\dot{U}_{BC} + \dot{Z}_2 \dot{i}_2}{\dot{Z}_2} = 77.517 \angle (-15.2^\circ) \text{ A}$$

Παράδειγμα 7

- Οπότε τα ρεύματα γραμμών είναι

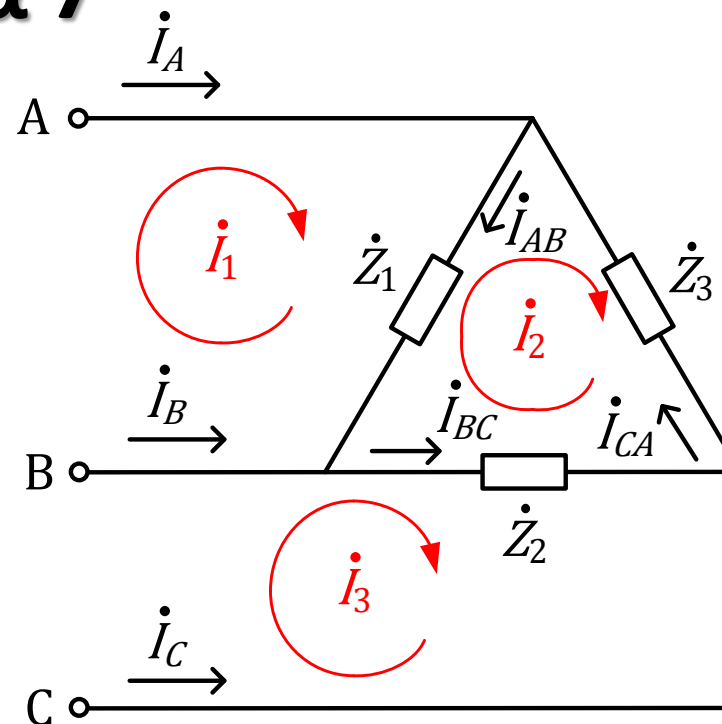
$$\dot{I}_A = \dot{I}_1 = 41.548 \angle 97.2^\circ \text{ A}$$

$$\dot{I}_B = \dot{I}_3 - \dot{I}_1 = 100.930 \angle (-37.5^\circ) \text{ A}$$

$$\dot{I}_C = -\dot{I}_3 = 77.517 \angle (-15.2^\circ) \text{ A}$$

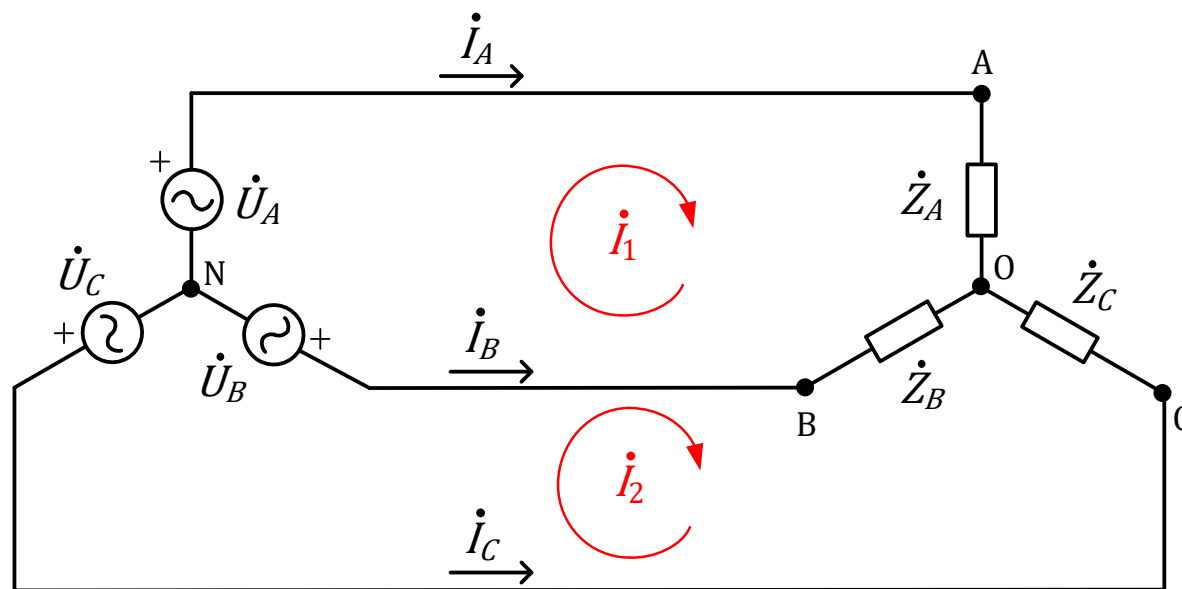
+180°: 164.8°

- Σημαντική παρατήρηση: Αν υπήρχε και σύνθετη αντίσταση στις γραμμές (βλ. διαφάνεια 22) μια συστηματική μέθοδος ανάλυσης όπως αυτή που εφαρμόστηκε εδώ θα ήταν σίγουρα προτιμότερη από ένα σύστημα 6 x 6 που προκύπτει με απλή εφαρμογή νόμων Kirchhoff.



Παράδειγμα 8

- Στο κύκλωμα του σχήματος είναι $U_\phi = 230 \text{ V}$, $\dot{Z}_A = 20 + j15 \Omega$, $\dot{Z}_B = 15 + j10 \Omega$, $\dot{Z}_C = 10 - j18 \Omega$.
- Να βρεθούν τα ρεύματα των γραμμών και οι τάσεις στα φορτία.



- Θεωρούμε θετική ακολουθία φάσεων.

Απάντηση:

- Χρησιμοποιούμε ανάλυση βρόχων. Προκύπτουν οι εξισώσεις:

$$-\dot{U}_{AN} + \dot{I}_1 \dot{Z}_A + (\dot{I}_1 - \dot{I}_2) \dot{Z}_B + \dot{U}_{BN} = 0 \Rightarrow \dot{I}_1 \dot{Z}_A + (\dot{I}_1 - \dot{I}_2) \dot{Z}_B = \dot{U}_{AB}$$

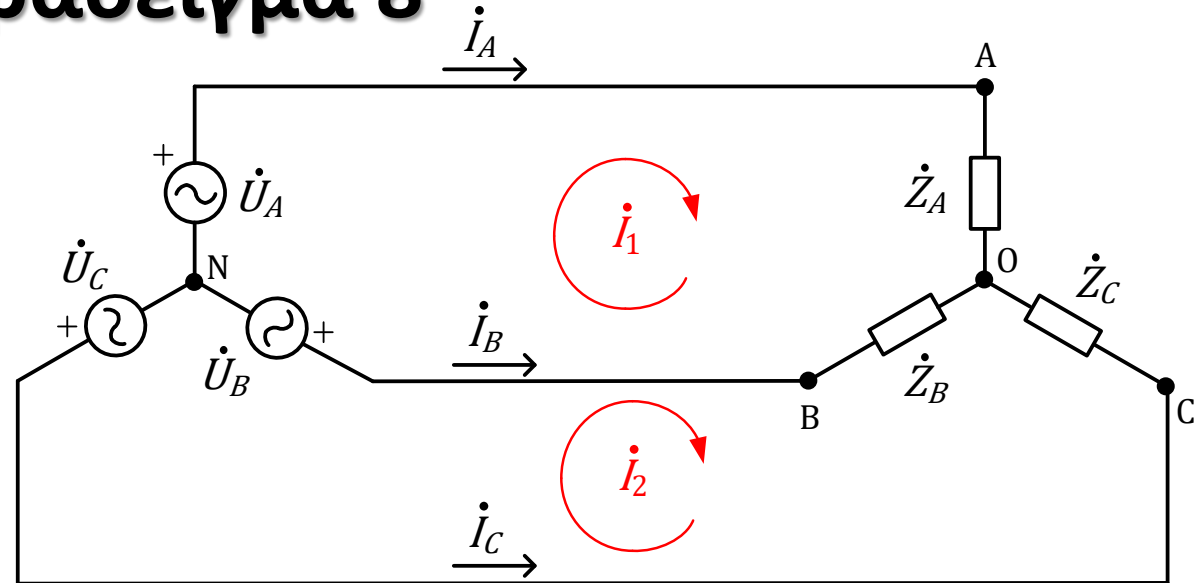
$$\Rightarrow (\dot{Z}_A + \dot{Z}_B) \dot{I}_1 - \dot{Z}_B \dot{I}_2 = \dot{U}_{AB} \Rightarrow (35 + j25) \dot{I}_1 - (15 + j10) \dot{I}_2 = 230\sqrt{3} \angle 120^\circ$$

$$-\dot{U}_{BN} + (\dot{I}_2 - \dot{I}_1) \dot{Z}_B + \dot{I}_2 \dot{Z}_C + \dot{U}_{CN} = 0 \Rightarrow (\dot{I}_2 - \dot{I}_1) \dot{Z}_B + \dot{I}_2 \dot{Z}_C = \dot{U}_{BC}$$

$$\Rightarrow -\dot{Z}_B \dot{I}_1 + (\dot{Z}_B + \dot{Z}_C) \dot{I}_2 = \dot{U}_{BC} \Rightarrow -(15 + j10) \dot{I}_1 + (25 - j8) \dot{I}_2 = 230\sqrt{3}$$

Παράδειγμα 8

$$\Delta = \begin{vmatrix} 35 + j25 & -(15 + j10) \\ -(15 + j10) & 25 - j8 \end{vmatrix} \\ = 4650 - j5875$$



$$\Delta_1 = \begin{vmatrix} 230\sqrt{3}\angle 120^\circ & -(15 + j10) \\ 230\sqrt{3} & 25 - j8 \end{vmatrix} = 61640 + j43020$$

$$\Delta_2 = \begin{vmatrix} 35 + j25 & 230\sqrt{3}\angle 120^\circ \\ -(15 + j10) & 230\sqrt{3} \end{vmatrix} = 7505 + j13140$$

- Επομένως τα ρεύματα βρόχων είναι

$$\dot{I}_1 = \frac{\Delta_1}{\Delta} = 0.603 + j10.014 \text{ A}$$

$$\dot{I}_2 = \frac{\Delta_2}{\Delta} = -0.754 + j1.874 \text{ A}$$

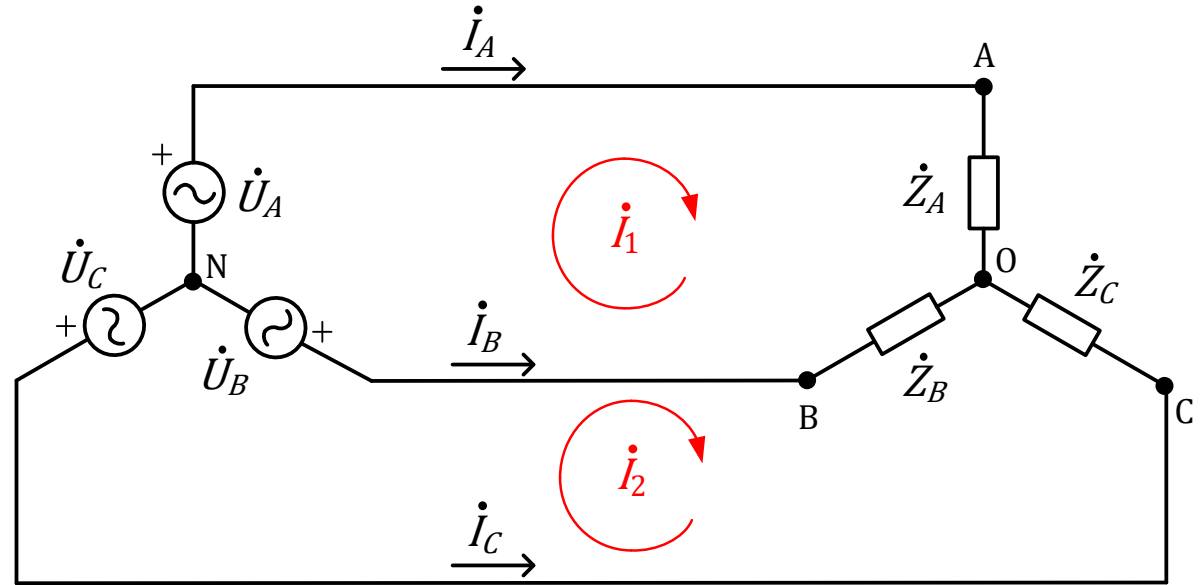
Παράδειγμα 8

- Τα ρεύματα των φάσεων είναι:

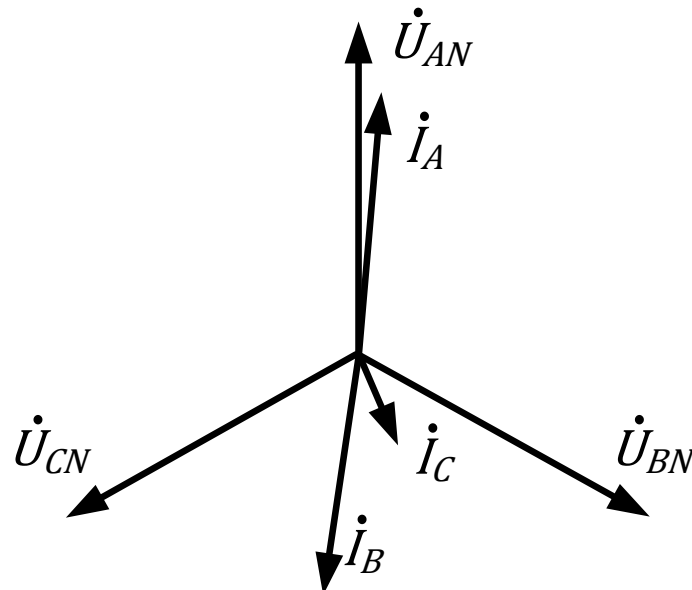
$$\dot{I}_A = \dot{I}_1 = 10.032 \angle 86.6^\circ \text{ A}$$

$$\begin{aligned} \dot{I}_B &= (\dot{I}_2 - \dot{I}_1) \\ &= 8.252 \angle (-99.5^\circ) \text{ A} \end{aligned}$$

$$\dot{I}_C = -\dot{I}_2 = 2.02 \angle (-68.1^\circ) \text{ A}$$



- Το διανυσματικό διάγραμμα των ρευμάτων του κυκλώματος μαζί με τις φασικές τάσεις είναι



Παράδειγμα 8

- Οι τάσεις στους κλάδους του αστέρα είναι \dot{U}_{AO} , \dot{U}_{BO} , \dot{U}_{CO} και εφόσον δεν είναι συνδεδεμένος ο ουδέτερος του φορτίου με τον ουδέτερο της πηγής δεν θα είναι ίσες με τις φασικές τάσεις της πηγής \dot{U}_{AN} , \dot{U}_{BN} , \dot{U}_{CN} . Πράγματι:

$$\dot{U}_{AO} = \dot{I}_A \dot{Z}_A = 250.8 \angle 123.4^\circ \text{ V}$$

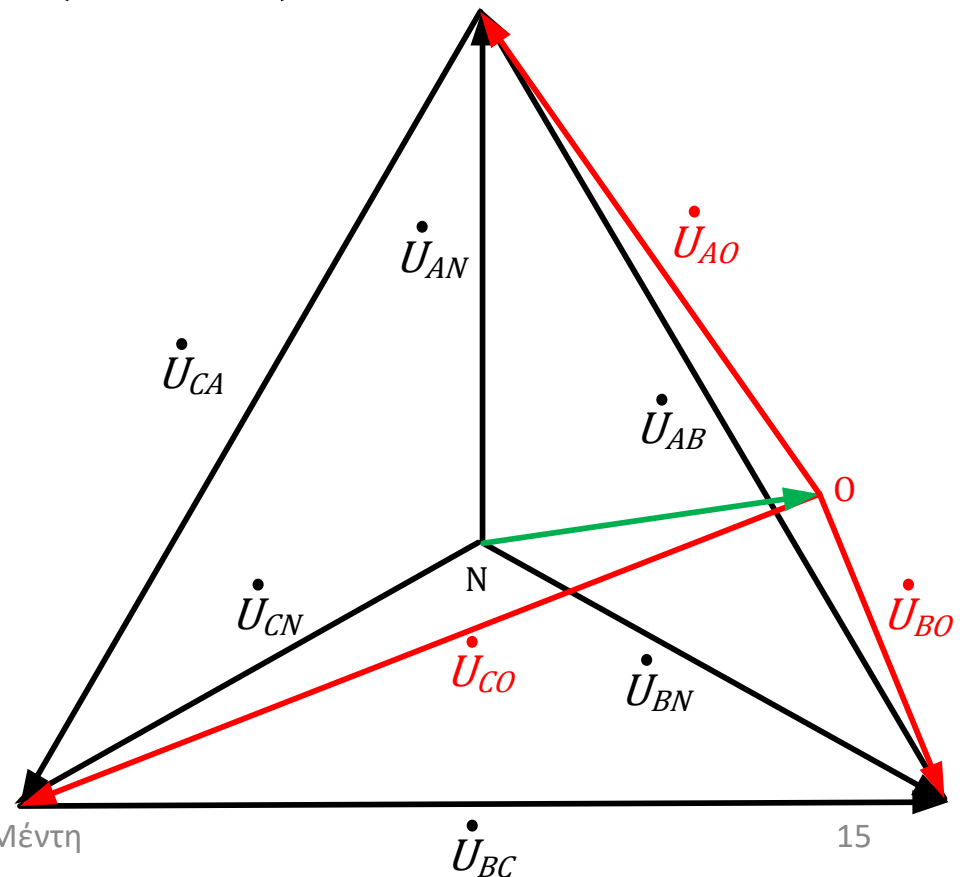
$$\dot{U}_{BO} = \dot{I}_B \dot{Z}_B = 148.8 \angle (-65.8^\circ) \text{ V}$$

$$\dot{U}_{CO} = \dot{I}_C \dot{Z}_C = 363.6 \angle (-158.1^\circ) \text{ V}$$

- Επίσης από το κύκλωμα προκύπτει ότι:

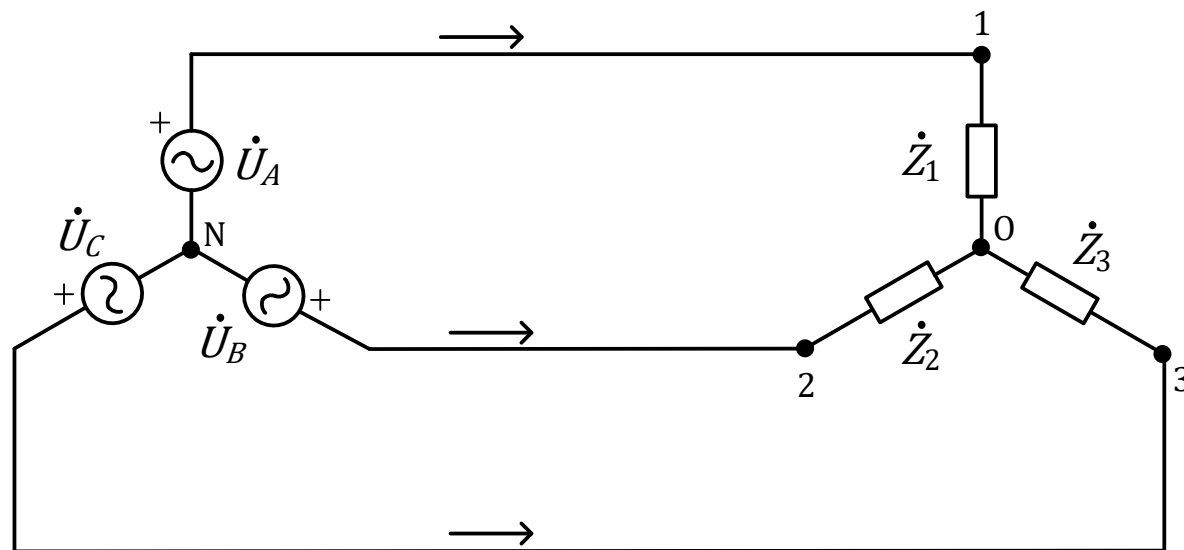
$$\begin{aligned} \dot{U}_{ON} &= \dot{U}_{AN} - \dot{U}_{AO} = 138.1 + j20.7 \\ &= 139.7 \angle 8.5^\circ \text{ V} \end{aligned}$$

- Το διανυσματικό διάγραμμα φασικών και πολικών τάσεων φαίνεται στο σχήμα.



Παράδειγμα 9

- Στο κύκλωμα του σχήματος είναι $U = 400\text{ V}$, $\dot{Z}_1 = R$, $\dot{Z}_2 = R$, $\dot{Z}_3 = 1/j\omega C$, όπου $R = 1/\omega C$.
- Να βρεθεί η πτώση τάσης στις δύο ωμικές αντιστάσεις όταν η τάσεις της πηγής είναι θετικής ακολουθίας και όταν είναι αρνητικής ακολουθίας.



Απάντηση:

- Μπορούμε να χρησιμοποιήσουμε ανάλυση κόμβων με κόμβο αναφοράς τον N. Λόγω των πηγών τάσης στους κόμβους 1, 2 και 3 ισχύει ότι:

$$\dot{U}_1 = \dot{U}_A$$

$$\dot{U}_2 = \dot{U}_B$$

$$\dot{U}_3 = \dot{U}_C$$

Παράδειγμα 9

- Στον κόμβο 0 εφαρμόζουμε

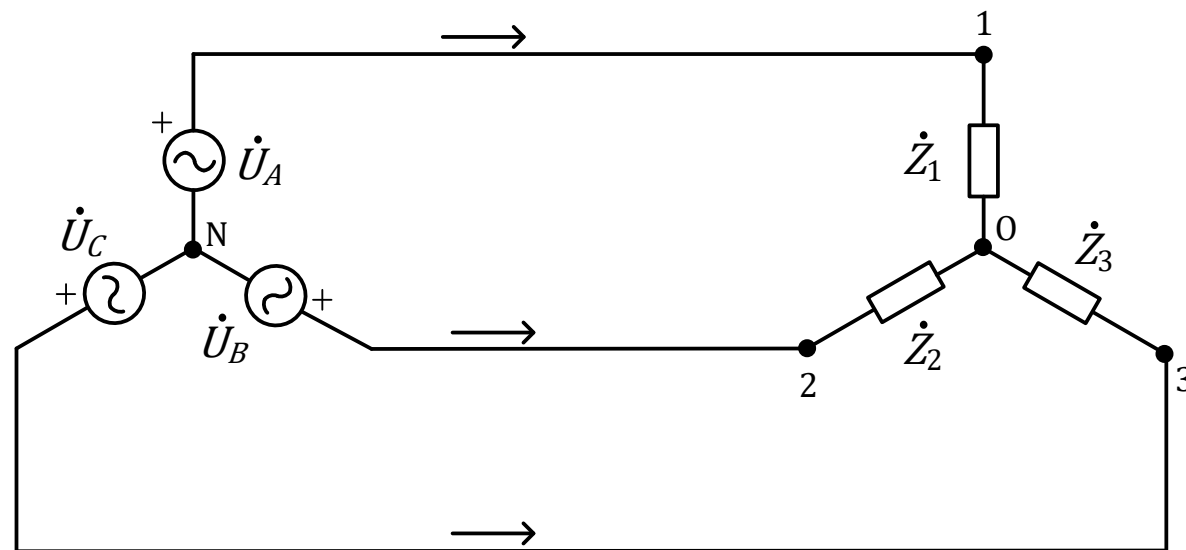
KCL:

$$\frac{\dot{U}_1 - \dot{U}_0}{\dot{Z}_1} + \frac{\dot{U}_2 - \dot{U}_0}{\dot{Z}_2} + \frac{\dot{U}_3 - \dot{U}_0}{\dot{Z}_3} = 0$$

$$\Rightarrow \frac{\dot{U}_0}{\dot{Z}_1} + \frac{\dot{U}_0}{\dot{Z}_2} + \frac{\dot{U}_0}{\dot{Z}_3} = \frac{\dot{U}_1}{\dot{Z}_1} + \frac{\dot{U}_2}{\dot{Z}_2} + \frac{\dot{U}_3}{\dot{Z}_3}$$

$$\Rightarrow \dot{U}_0 (\dot{Y}_1 + \dot{Y}_2 + \dot{Y}_3) = \dot{U}_1 \dot{Y}_1 + \dot{U}_2 \dot{Y}_2 + \dot{U}_3 \dot{Y}_3$$

$$\Rightarrow \dot{U}_0 = \frac{\dot{U}_1 \dot{Y}_1 + \dot{U}_2 \dot{Y}_2 + \dot{U}_3 \dot{Y}_3}{(\dot{Y}_1 + \dot{Y}_2 + \dot{Y}_3)}$$



- Παρατήρηση: Υπενθυμίζεται ότι οι τάσεις στις παραπάνω εξισώσεις είναι οι τάσεις των κόμβων ως προς τον κόμβο αναφοράς, δηλαδή τον κόμβο N. Άρα η τάση που υπολογίσαμε είναι η \dot{U}_{ON} που εκφράζει τη μετατόπιση του ουδετέρου λόγω της ασυμμετρίας του φορτίου.

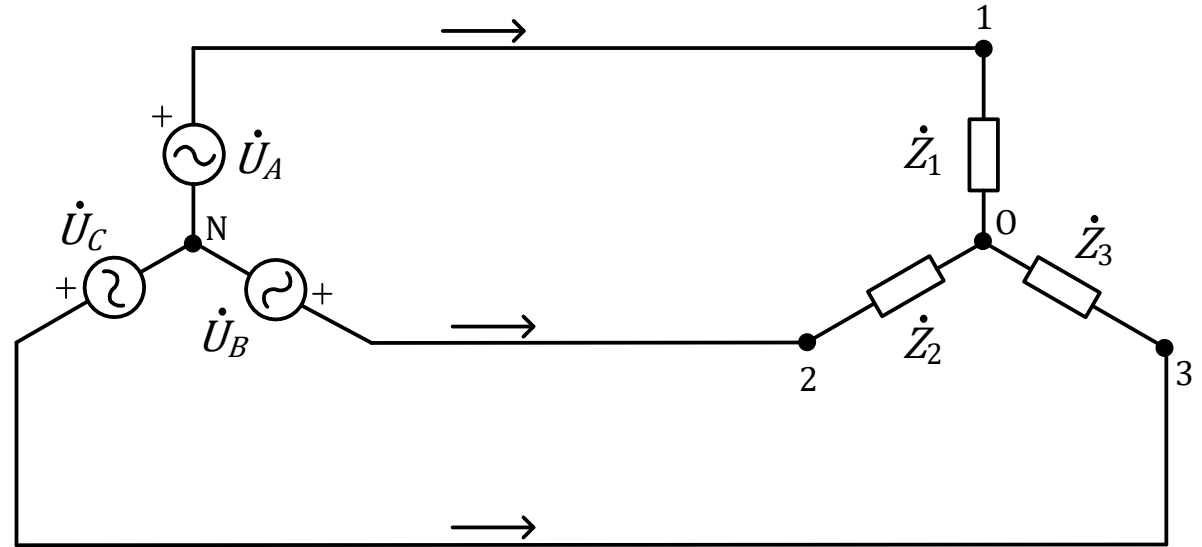
Παράδειγμα 9

- Σύμφωνα με την εκφώνηση της άσκησης ισχύει ότι:

$$\dot{Y}_1 = \dot{Y}_2 = \frac{1}{R}$$

Και

$$\dot{Y}_3 = j\omega C = \frac{j}{R}$$



- Επομένως

$$\dot{U}_O = \frac{\dot{U}_1 \dot{Y}_1 + \dot{U}_2 \dot{Y}_2 + \dot{U}_3 \dot{Y}_3}{(\dot{Y}_1 + \dot{Y}_2 + \dot{Y}_3)} = \frac{(\dot{U}_1 + \dot{U}_2 + j\dot{U}_3) \frac{1}{R}}{(1 + 1 + j) \frac{1}{R}} = \frac{\dot{U}_1 + \dot{U}_2 + j\dot{U}_3}{2 + j}$$

- Οι τάσεις που ζητούνται είναι οι

$$\dot{U}_{R1} = \dot{U}_1 - \dot{U}_O$$

$$\dot{U}_{R2} = \dot{U}_2 - \dot{U}_O$$

Παράδειγμα 9

- Επομένως

$$\dot{U}_{R1} = \dot{U}_1 - \dot{U}_0 = \dot{U}_1 - \frac{\dot{U}_1 + \dot{U}_2 + j\dot{U}_3}{2 + j} = \frac{(1 + j)\dot{U}_1 - \dot{U}_2 - j\dot{U}_3}{2 + j}$$

$$= \frac{\dot{U}_1 - \dot{U}_2 + j(\dot{U}_1 - \dot{U}_3)}{2 + j} = \frac{\dot{U}_{12} + j\dot{U}_{13}}{2 + j}$$

$$\dot{U}_{R2} = \dot{U}_2 - \dot{U}_0 = \dot{U}_2 - \frac{\dot{U}_1 + \dot{U}_2 + j\dot{U}_3}{2 + j} = \frac{(1 + j)\dot{U}_2 - \dot{U}_1 - j\dot{U}_3}{2 + j}$$

$$= \frac{-\dot{U}_1 + \dot{U}_2 + j(\dot{U}_2 - \dot{U}_3)}{2 + j} = \frac{-\dot{U}_{12} + j\dot{U}_{23}}{2 + j}$$

- Όμως

$$\dot{U}_{12} = \dot{U}_1 - \dot{U}_2 = \dot{U}_A - \dot{U}_B = \dot{U}_{AB}$$

$$\dot{U}_{13} = \dot{U}_1 - \dot{U}_3 = \dot{U}_A - \dot{U}_C = \dot{U}_{AC}$$

$$\dot{U}_{23} = \dot{U}_2 - \dot{U}_3 = \dot{U}_B - \dot{U}_C = \dot{U}_{BC}$$

Παράδειγμα 9

- Επομένως

$$\dot{U}_{R1} = \frac{\dot{U}_{12} + j\dot{U}_{13}}{2 + j} = \frac{\dot{U}_{AB} + j\dot{U}_{AC}}{2 + j}$$

$$\dot{U}_{R2} = \frac{-\dot{U}_{12} + j\dot{U}_{23}}{2 + j} = \frac{-\dot{U}_{AB} + j\dot{U}_{BC}}{2 + j}$$

- Αν η ακολουθία φάσεων της πηγής είναι θετική τότε

$$\dot{U}_{R1} = \frac{\dot{U}_{AB} + j\dot{U}_{AC}}{2 + j} = \frac{U\angle 120^\circ + jU\angle(-120^\circ + 180^\circ)}{2 + j} = 0.864U\angle 108.4^\circ$$

$$\dot{U}_{R2} = \frac{-\dot{U}_{AB} + j\dot{U}_{BC}}{2 + j} = \frac{-U\angle 120^\circ + jU}{2 + j} = 0.231U\angle(-11.6^\circ)$$

- Δηλαδή η πτώση τάσης στην αντίσταση που συνδέεται στο άκρο 1 του φορτίου είναι μεγαλύτερη από την πτώση τάσης στην αντίσταση που συνδέεται στο άκρο 2. Αν αντί για αντιστάσεις είχαμε λαμπτήρες πυρακτώσεως στην περίπτωση αυτή (θετική ακολουθία φάσεων) θα φωτοβολούσε ο 1.

Παράδειγμα 9

- Αν η ακολουθία φάσεων της πηγής είναι αρνητική τότε

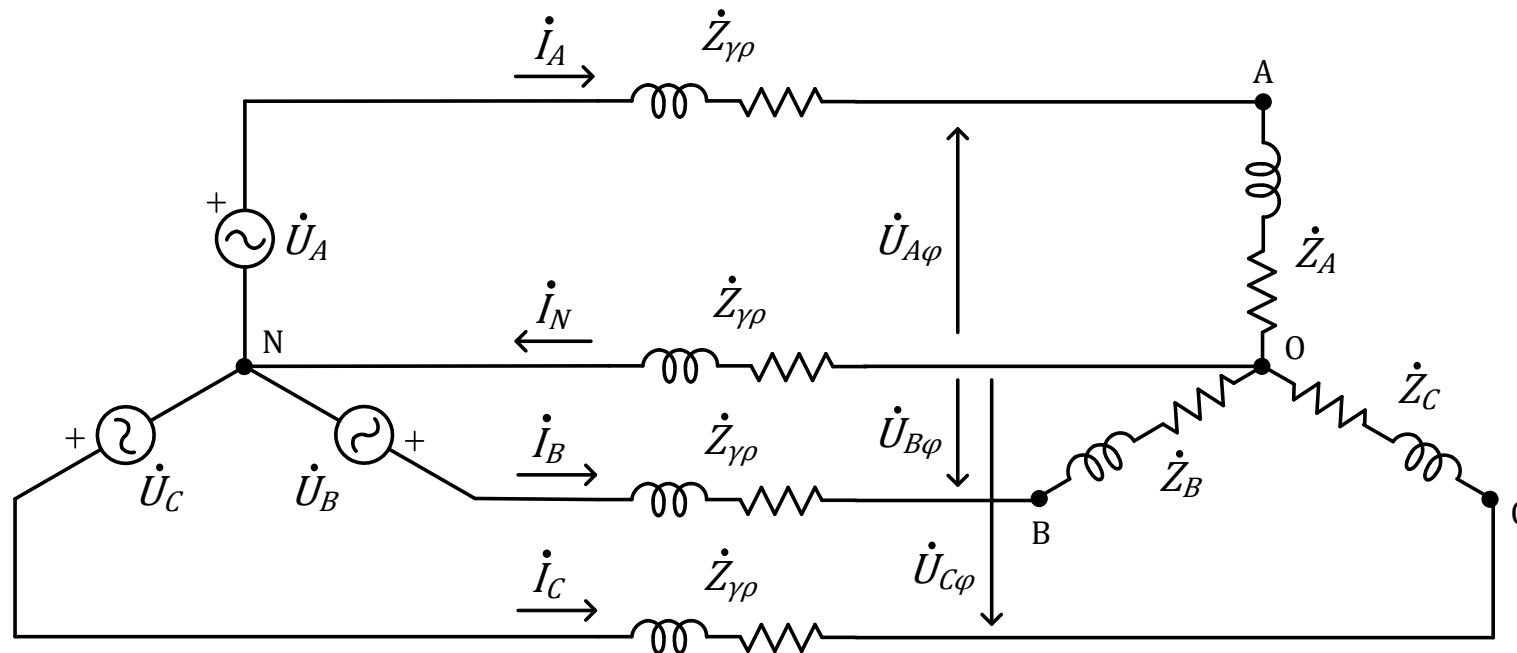
$$\dot{U}_{R1} = \frac{\dot{U}_{AB} + j\dot{U}_{AC}}{2 + j} = \frac{U\angle(-120^\circ) + jU\angle(120^\circ + 180^\circ)}{2 + j} = 0.231U\angle(-71.6^\circ)$$

$$\dot{U}_{R2} = \frac{-\dot{U}_{AB} + j\dot{U}_{BC}}{2 + j} = \frac{-U\angle(-120^\circ) + jU}{2 + j} = 0.864U\angle 48.4^\circ$$

- Δηλαδή η πτώση τάσης στην αντίσταση που συνδέεται στο άκρο 2 του φορτίου είναι μεγαλύτερη από την πτώση τάσης στην αντίσταση που συνδέεται στο άκρο 1. Αν αντί για αντιστάσεις είχαμε λαμπτήρες πυρακτώσεως στην περίπτωση αυτή (αρνητική ακολουθία φάσεων) θα φωτοβολούσε ο 2.
- Ο λαμπτήρας που φωτοβολεί δείχνει ότι η φάση που συνδέεται στο άκρο του προηγείται της φάσης που συνδέεται στο άκρο του άλλου λαμπτήρα.
- Παρατήρηση: Το παραπάνω κύκλωμα περιλαμβάνεται σε έναν **ενδείκτη διαδοχής φάσεων**.

Τριφασικά κυκλώματα – Ασύμμετρο φορτίο– Μη ιδανικοί αγωγοί γραμμής

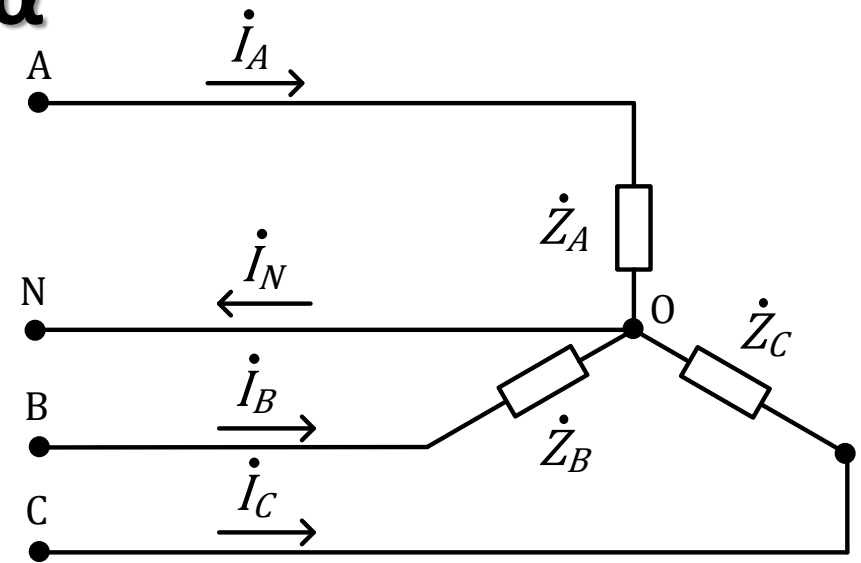
- Οι τάσεις στα άκρα του φορτίου είναι διαφορετικές από τις τάσεις της πηγής όταν οι αγωγοί του κυκλώματος δεν είναι ιδανικοί λόγω της πτώσης τάσης στις γραμμές. Παράδειγμα:



- Και στην περίπτωση αυτή χρειάζεται να χρησιμοποιήσουμε κάποια τεχνική ανάλυσης κυκλωμάτων.

Στιγμιαία ισχύς σε συμμετρικά τριφασικά κυκλώματα

- Έστω ότι το φορτίο είναι συμμετρικό και είναι συνδεδεμένο σε Υ.
- Οι συναρτήσεις των τάσεων των τριών φάσεων είναι



$$u_A(t) = U_\varphi \sqrt{2} \cos(\omega t + 90^\circ)$$

$$u_B(t) = U_\varphi \sqrt{2} \cos(\omega t - 30^\circ)$$

$$u_C(t) = U_\varphi \sqrt{2} \cos(\omega t - 150^\circ) = U_\varphi \sqrt{2} \cos(\omega t + 210^\circ)$$

- Τότε τα ρεύματα που παράγονται από την τριφασική πηγή είναι

$$i_A(t) = I\sqrt{2} \cos(\omega t + 90^\circ - \varphi)$$

$$i_B(t) = I\sqrt{2} \cos(\omega t - 30^\circ - \varphi)$$

$$i_C(t) = I\sqrt{2} \cos(\omega t + 210^\circ - \varphi)$$

Στιγμιαία ισχύς σε συμμετρικά τριφασικά κυκλώματα

- Η στιγμιαία ισχύς που παράγεται από την πηγή είναι

$$\begin{aligned} p(t) &= p_A(t) + p_B(t) + p_C(t) = u_A(t)i_A(t) + u_B(t)i_B(t) + u_C(t)i_C(t) \\ &= 2U_\varphi I [\cos(\omega t + 90^\circ) \cos(\omega t + 90^\circ - \varphi) \\ &\quad + \cos(\omega t - 30^\circ) \cos(\omega t - 30^\circ - \varphi) \\ &\quad + \cos(\omega t + 210^\circ) \cos(\omega t + 210^\circ - \varphi)] \end{aligned}$$

- Επειδή όμως $\cos a \cos b = \frac{1}{2} [\cos(a - b) + \cos(a + b)]$ προκύπτει ότι

$$\begin{aligned} p(t) &= U_\varphi I [\cos \varphi + \cos(2\omega t - \theta + 180^\circ) + \cos \varphi + \cos(2\omega t - \varphi - 60^\circ) \\ &\quad + \cos \varphi + \cos(2\omega t - \varphi + 60^\circ)] = 3U_\varphi I \cos \varphi \end{aligned}$$

- Δηλαδή η συνολική στιγμιαία ισχύς είναι σταθερή και όχι μεταβαλλόμενη όπως είναι η στιγμιαία ισχύς της κάθε φάσης. Αυτό ισχύει είτε το φορτίο είναι συνδεδεμένο σε Υ είτε σε Δ.

Ενεργός ισχύς

- Έστω ότι το φορτίο είναι συνδεδεμένο σε Υ.
- Η ενεργός ισχύς γενικά είναι

$$P = U_A I_A \cos \varphi_A + U_B I_B \cos \varphi_B + U_C I_C \cos \varphi_C$$

όπου $\varphi_A, \varphi_B, \varphi_C$ οι γωνίες μεταξύ φασικών τάσεων και των αντίστοιχων ρευμάτων των κλάδων του αστέρα, που είναι ίδια με τα ρεύματα των γραμμών. Είναι επίσης οι γωνίες των συνθέτων αντιστάσεων \dot{Z}_A, \dot{Z}_B και \dot{Z}_C .

- Η πηγή θεωρείται συμμετρική, επομένως

$$U_A = U_B = U_C = U_\varphi = \frac{U}{\sqrt{3}}$$

- Αν το φορτίο είναι επίσης συμμετρικό, τότε

$$I_A = I_B = I_C = I$$
$$\varphi_A = \varphi_B = \varphi_C = \varphi$$

- Επομένως

$$P = 3U_\varphi I \cos \varphi = 3 \frac{U}{\sqrt{3}} I \cos \varphi = \sqrt{3} U I \cos \varphi$$

Ενεργός ισχύς

- Έστω τώρα ότι το φορτίο είναι συνδεδεμένο σε Δ .
- Η ενεργός ισχύς γενικά είναι

$$P = U_{AB}I_{AB} \cos \varphi_{AB} + U_{BC}I_{BC} \cos \varphi_{BC} + U_{CA}I_{CA} \cos \varphi_{CA}$$

όπου $\varphi_{AB}, \varphi_{BC}, \varphi_{CA}$ οι γωνίες μεταξύ πολικών τάσεων και των αντίστοιχων ρευμάτων των κλάδων του Δ , που είναι οι γωνίες των $\dot{Z}_{AB}, \dot{Z}_{BC}$ και \dot{Z}_{CA} .

- Η πηγή θεωρείται συμμετρική, επομένως

$$U_{AB} = U_{BC} = U_{CA} = U$$

- Αν το φορτίο είναι επίσης συμμετρικό, τότε

$$I_{AB} = I_{BC} = I_{CA} = I_{\Delta} = \frac{I}{\sqrt{3}}$$

$$\varphi_{AB} = \varphi_{BC} = \varphi_{CA} = \varphi$$

- Επομένως

$$P = 3UI_{\Delta} \cos \varphi = 3U \frac{I}{\sqrt{3}} \cos \varphi = \sqrt{3}UI \cos \varphi$$

Άεργος, φαινομένη, μιγαδική ισχύς

- Με τον ίδιο τρόπο προκύπτει ότι στην περίπτωση του συμμετρικού Υ η άεργος είναι

$$Q = 3U_{\varphi}I \sin \varphi = \sqrt{3}UI \sin \varphi$$

- Η φαινομένη ισχύς είναι

$$S = 3U_{\varphi}I = \sqrt{3}UI = \sqrt{P^2 + Q^2}$$

- Η μιγαδική ισχύς είναι

$$\dot{S} = 3\dot{U}_A\dot{I}_A^* = P + jQ = 3U_{\varphi}I\angle\varphi = \sqrt{3}UI\angle\varphi$$

- Στην περίπτωση του συμμετρικού Δ η άεργος είναι

$$Q = 3UI_{\Delta} \sin \varphi = \sqrt{3}UI \sin \varphi$$

- Η φαινομένη ισχύς είναι

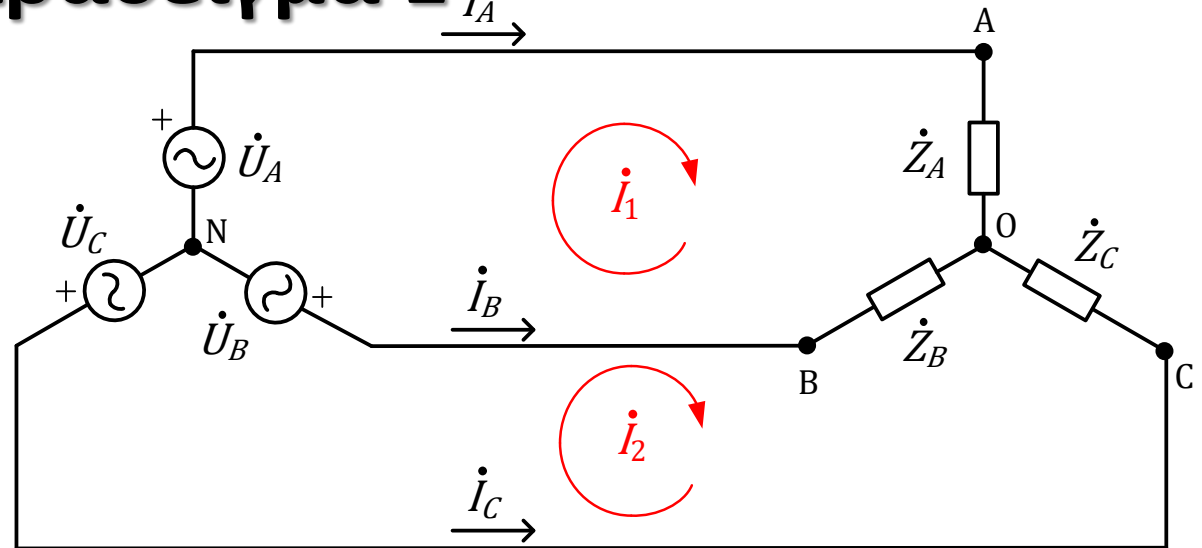
$$S = 3I_{\Delta}I = \sqrt{3}UI = \sqrt{P^2 + Q^2}$$

- Η μιγαδική ισχύς είναι

$$\dot{S} = 3\dot{U}_{AB}\dot{I}_{AB}^* = P + jQ = 3UI_{\Delta}\angle\varphi = \sqrt{3}UI\angle\varphi$$

Παράδειγμα 1

- Στο κύκλωμα του σχήματος είναι $U_\varphi = 230 \text{ V}$, $\dot{Z}_A = 20 + j15 \Omega$, $\dot{Z}_B = 15 + j10 \Omega$, $\dot{Z}_C = 10 - j18 \Omega$.
- Να βρεθεί η μιγαδική ισχύς που απορροφά το φορτίο.
- Θεωρούμε θετική ακολουθία φάσεων.



Απάντηση:

- Έχουν υπολογιστεί τα εξής (Παράδειγμα 7 μαθήματος 7):

$$\dot{U}_{AO} = \dot{I}_A \dot{Z}_A = 250.8 \angle 123.4^\circ \text{ V}$$

$$\dot{U}_{BO} = \dot{I}_B \dot{Z}_B = 148.8 \angle (-65.8^\circ) \text{ V}$$

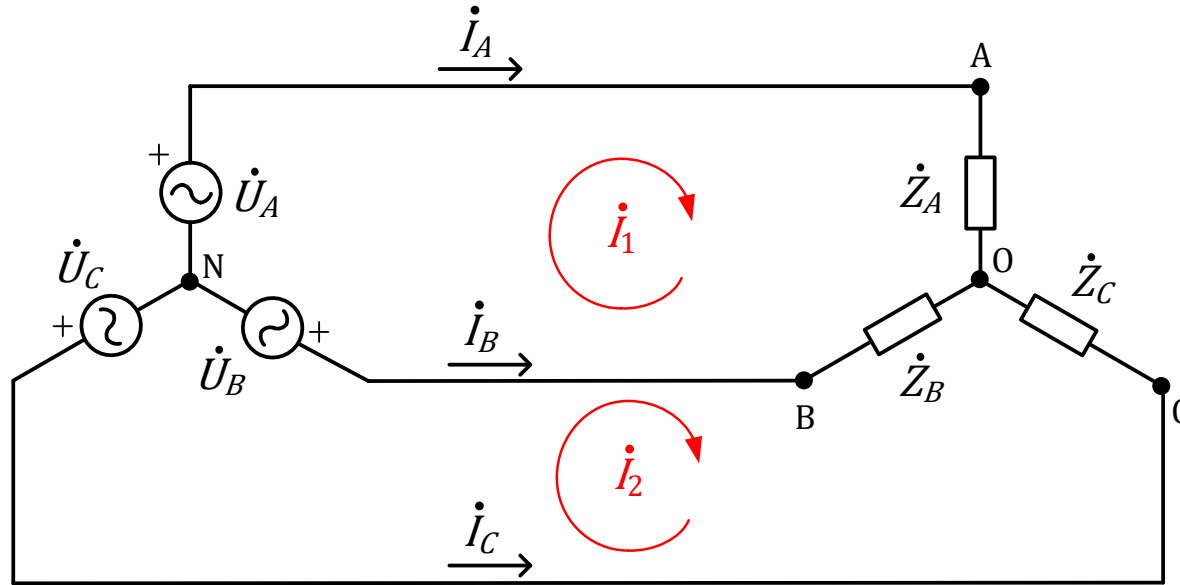
$$\dot{U}_{CO} = \dot{I}_C \dot{Z}_C = 363.6 \angle (-158.1^\circ) \text{ V}$$

$$\dot{I}_A = \dot{I}_1 = 10.032 \angle 86.6^\circ \text{ A}$$

$$\dot{I}_B = (\dot{I}_2 - \dot{I}_1) = 8.252 \angle (-99.5^\circ) \text{ A}$$

$$\dot{I}_C = -\dot{I}_2 = 2.02 \angle (-68.1^\circ) \text{ A}$$

Παράδειγμα 1



- Η μιγαδική ισχύς του φορτίου είναι

$$\dot{S} = \dot{S}_A + \dot{S}_B + \dot{S}_C = \dot{U}_{AO}\dot{I}_A^* + \dot{U}_{BO}\dot{I}_B^* + \dot{U}_{CO}\dot{I}_C^* = 3034 + j1456 \text{ VA}$$

- Η μιγαδική ισχύς της πηγής είναι

$$\dot{S}' = \dot{S}'_A + \dot{S}'_B + \dot{S}'_C = \dot{U}_{AN}\dot{I}_A^* + \dot{U}_{BN}\dot{I}_B^* + \dot{U}_{CN}\dot{I}_C^* = 3034 + j1456 \text{ VA}$$